



Article

Étude sur la réponse induite par le vent et la déviation du vent Contrôle de la structure du filet d'étanchéité aérien Lignes de transmission

Meng Zhang, Guangging Feng, Xu Zhang et Guifeng Zhao *



École de génie civil, Université de Zhengzhou, Zhengzhou 450001, Chine ; zhangmeng@zzu.edu.cn (MZ)
* Correspondance : gfzhao@zzu.edu.cn

Résumé : Les structures en filets d'étanchéité sont fréquemment utilisées comme dispositifs de protection pour les lignes de transport nouvellement construites qui croisent des lignes existantes. Ils visent à assurer la sécurité lors de la construction et de l'exploitation des lignes qui se croisent. Pour explorer les caractéristiques de réponse à la déflexion du vent des structures de filet d'étanchéité sous des charges de vent, un modèle de la structure de filet d'étanchéité a été créé à l'aide du logiciel ANSYS/APDL pour l'analyse par éléments finis. Ce modèle représente une structure aérienne de filet d'étanchéité s'étendant sur une ligne existante. Les résultats obtenus à partir des simulations par éléments finis s'alignent bien avec les calculs théoriques, indiquant la validité du modèle par éléments finis établi pour analyser avec précision la réponse induite par le vent de la structure du filet d'étanchéité. En s'appuyant sur cette base, l'étude a analysé l'impact de divers facteurs sur la déviation du filet d'étanchéité par le vent. Ces facteurs comprennent la portée, la vitesse du vent, la prétension du câble caténaire, l'angle de direction du vent, l'angle de disposition et la méthode d'installation des haubans supplémentaires. La recherche a étudié l'influence de ces facteurs sur la déviation par le vent de la structure du filet d'étanchéité. De plus, une proposition a été présentée pour organiser la structure de fermeture afin d'atténuer la déviation du vent. Cette proposition fournit des conseils précieux pour les considérations de conception et de sécurité des lignes de transport e structures nettes.



Citation: Zhang, M.; Feng, G.; Zhang, X.; Zhao, G. Étude sur la réponse induite par le vent et le contrôle de la déflexion du vent de la structure aérienne du filet d'étanchéité couvrant les lignes de transport. Bâtiments 2023, 13, 2947. https://doi.org/10.3390/ building13122947

Rédacteur académique : Shaohong Cheng

Reçu : 27 septembre 2023 Révisé : 22 novembre 2023 Accepté : 24 novembre 2023 Publié : 26 novembre 2023



Copyright: © 2023 par les auteurs.
Licencié MDPI, Bâle, Suisse.
Cet article est un article en libre accès distribué selon les termes et conditions des Creative Commons
Licence d'attribution (CC BY) (https://creativecommons.org/licenses/by/4.0/).

Mots-clés : structure de filet d'étanchéité ; réponse induite par le vent ; contrôle de la déviation du vent ; haubans supplémentaires

1. Introduction

Avec la demande mondiale croissante d'électricité, il devient de plus en plus nécessaire de développer des projets de transport d'électricité à longue distance et à grande capacité qui s'étendent sur plusieurs régions. De plus, il existe une tendance croissante à construire de nouvelles lignes de transmission qui traversent les lignes électriques, les voies ferrées, les autoroutes, les voies navigables, les terrains élevés, les vallées, les terres agricoles et les forêts vierges, entre autres domaines spécialisés [1]. L'installation de nouvelles lignes de transport nécessite souvent l'exploitation ininterrompue des lignes existantes qu'elles croisent. Pour optimiser l'utilisation de la zone traversée et assurer sa protection, une structure aérienne de filet d'étanchéité est couramment utilisée comme mesure de sécurité lors de l' installation de ces lignes de transmission [2,3], comme le montre la figure 1.

La structure de filet d'étanchéité installée dans la ligne aérienne de transport traverse les voies ferrées, les autoroutes, les voies navigables et d'autres lignes existantes, comme le montre la figure 2. Sa fonction principale est d'intercepter la ligne brisée qui tombe et d'éviter tout impact en cas de rupture de ligne . Pour les circuits existants, assurer une distance de sécurité entre les deux pour protéger la sécurité des circuits existants [4]. Pour mener une étude complète de sécurité de la structure du filet d'étanchéité des lignes de transport, il est impératif de garantir que la structure d'étanchéité répond non seulement aux exigences de résistance pour intercepter les lignes brisées, mais qu'elle intercepte également efficacement les lignes de transport en chute dans une plage spécifique.

Bâtiments 2023, 13, x POUR EXAMEN PAR LES PAIRS

damonto 2020, 10, X1 0 011 270 an211 7 at 220 1 7 at 10

Bâtiments 2023, 13, 2947

intercepte efficacement les lignes de transmission en chute dans une plage spécifique, intercepte

2 sur 33

efficacement les lignes de transmission en chute dans une plage spécifique





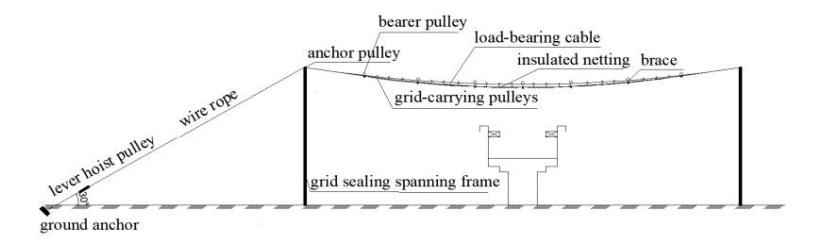


Figure 2. Disposition de la structure du filet d'étanchéité.

Figure 2. Disposition de la structure du filet d'étanchéité, des chercheurs nationaux et étrangers ont mené de nombreuses recherches sous différents angles, telles que les caractéristiques dynamiques de la structure du filet d'étanchéite.

dynamiques de la structure du filet d'étanchéite.

nomulass क्षामामाना विन्यं मिन्ना देवें इंतर बहा प्रमाण के मिन्ना कि कि निर्माण कि कि निर्माण कि मिन्ना कि मिन्ना कि कि मिन्ना कि कि मिन्ना कि कि मिन्ना कि मिन्ना कि कि मिन्ना कि ISTOCKARIO AND A THE CONTROL OF THE PRINTAMER PREMIMENTE SEPENCE SANSON SERVES SEPENCHE PREMIMENTE PROPRIESE PROPRIESE SEPENCE SERVES SE Sanharan et coll for leanise une dissipation de regie de ces systèmes lorsqu'ils sont soums à des impacts de character de pierres. actue funde les impagre et analyse des propriétés mécaniques dynamiques ainsi que l'analyse par áléments finis de défournation a cultifir une comprehension files approvonce de la dissipation d'energie de ces systèmes obsoluties unit soumis à une chuite. Leurimparts de reches. Cette étude étudie l'impart des performances des éléments individuels sur le stabilité globale de la structure. Complete et précieuse pour une compréhension filus approfondie des résultats, dui ont révelle que le froitement entre les cruites de nus aid at neggist att anthene att tenne her fulled to station far attention by the station of the station actually and a station actually and a station of the station actually and the station actually and the station actually a Les una de la character de la company de la character de la company de l globatie de la performance des éléments individuels lors de la descente du fil tréflé sur la structure du file d'étanchéité ils ontannée la globatie de la virtueure de sanchéité ils ontannée la descente de la virtueure de sanchéité au sul la sinchéité la solution du débacément par indicent du file d'étanchéité au sul la sinchéité la solution du débacément par indicent du file d'étanchéité au sul la sinchéité la solution du file de solution du file de solution du file de solution du file de solution de sol processus de collision. L'enquête sur la stabilité de l'ensemble de la structure, Meng et coll. [7] ont utilisé la méthode des éléments les resultats des calculs ont confirme de le logicier ansystements. la stabilité de l'ensemble de la structure. Meng et coll, ITI ont utilisé la méthode des éléments finis et la structure du filet d'étanchéité onégnalise à variation du département veritisé du plument officielle anglé de la structure de la déscente du fil étiré afin d'étudier la résistance des structures de filet d'étanchéité sous divers matériaux pendant le processus de ventical des compositions de nomine et différents lacteurs d'influence. En étudiant les caracters au matériaux pendant le processus de ventical des compositions de nomine et différent lacteurs d'influence. En étudiant les caracters au matériaux pendant le processus de ventical des compositions de nomine de la résistance ment naturelle, les résultats des calculs ont confirmé que la structure du filet d'étanchéité rencontre le filet pendant le processus de applibiles pour referance à la résistance et aux exidences a recessaries. C'est bonnois des partiers and résistance et aux exidences à recessaries. C'est bonnois des partiers années à referance de la communication Sur, la solidité des investissements et les résultats des calculs ont confirmé que la structure du filet d'étanchéité répond aux exigences d'étanchéité répond aux exigences d'étanchéité seus attractures du filet d'étanchéité répond aux exigences d'étanchéité seus attractures du filet d'étanchéité répond aux exigences d'étanchéité seus attractures du filet d'étanchéité répond aux exigences d'étanchéité seus attractures du filet d'étanchéité répond aux exigences de la contraction d'etancheite sous diverses compositions de matemaix et les exigences hécessailes. Pair consequent, des recherches apprioridaes un ontété menées pour investir, dans la structure, nous pouvons comprendre ses mécanismes, de déformation et de rupture sous des structures, de la figure del la figure de la fig étudiant les propriétes mecaniques du niet d'étancneile. Cependant, les lilets d'étantaires posseuent des définits au des définits de l'obtendant les les les ces dinées par les les les les des dépondents de la constant de la consta ettle la structure du flet d'étanche le répond aux exigences de la conception et de l'optimisation structurelles de le resultats de ces et beuvent site l'algement unitsée dans la pratique de l'ingénierie, ont constamment suffilmé que la nieferietanen eine Beruthet ver in die Afrika. Abstrack eine Arteine durch die Beruthe durch die Arteine durch durch die Arteine durch durch durch durch die Arteine durch die Arteine durch durch durch durch durch durch durch dur

Cela provoque des oscillations qui entravent sa capacité à intercepter efficacement les lignes brisées ou même permettent l'intrusion d'autres lignes, conduisant à des accidents potentiels. Par conséquent, la structure du filet d'étanchéité présente des caractéristiques non linéaires évidentes sous les charges de vent [10]. Basé

Face à cette caractéristique, les chercheurs ont mené des études sur les structures de filets d'étanchéité ainsi que sur les structures similaires aux structures de filets d'étanchéité, notamment les filets de câbles, les ponts suspendus humanoïdes et les structures de filets de protection.

3 sur 33

Vaezzadeh et coll. [11] ont trouvé la résistance à l'effondrement des structures en réseaux de câbles, en considérant 24 prototypes et 168 scénarios d'effondrement. Le comportement hautement non linéaire des câbles pose des problèmes, entraînant des déplacements et des instabilités importants. La rupture des dispositifs de retenue a été identifiée comme le scénario d'effondrement le plus destructeur, affectant particulièrement les colonnes d'angle des réseaux de câbles à plusieurs travées. L'analyse a utilisé une procédure pseudodynamique non linéaire étape par étape avec une modélisation précise de la rupture. Wu et coll. [12] se sont concentrés sur le contrôle actif des vibrations des structures de réseaux de câbles à l'aide d'actionneurs piézoélectriques empilés. Une méthode non linéaire a été proposée pour résoudre les problèmes de vibrations en présence d'incertitudes. Le modèle incertain a été dérivé d'un modèle nominal, et un contrôle par rétroaction d'état non linéaire a été d L'approche non linéaire a démontré sa faisabilité, sa robustesse et ses performances améliorées par rapport au contrôle linéaire. Salvatori et coll. [13] ont analysé les effets du vent sur les ponts suspendus par simulation numérique, en tenant compte des non-linéarités structurelles. Les effets d'auto-excitation et les secousses ont été inclus. La réponse aux vents turbulents a été évaluée en utilisant une approche de Monte Carlo. Un modèle structurel avec deux sections transversales a capturé les caractéristiques clés. Les non-linéarités structurelles limitent les amplitudes d'oscillation et un écoulement entièrement corrélé peut avoir sous-estimé la réponse. Escallon et coll. [14] ont développé un modèle par éléments finis pour simuler avec précision le comportement mécanique des grillages à mailles losangées dans les barrières de protection contre les chutes de pierres. Le modèle a reproduit avec succès la réponse de déplacement de force non linéaire observée lors d'essais en laboratoire et d'un essai de barrière à grande échelle. Khalkhaliha et al. [15] se sont concentrés sur la dynamique structurelle d'une structure de réseau de câbles en forme de selle avec des câbles précontrair Une analyse dynamique paramétrique non linéaire a été réalisée pour évaluer la réponse du système à différentes masses, géométries, prétensions et amplitudes d'excitation. Un modèle équivalent à un seul degré de liberté a estimé avec précision la réponse du déplacement, et un algorithme de contrôle actif non linéaire a réduit efficacement la réponse structurelle à l'excitation transitoire du vent. Lioyd et coll. [16] ont décrit les performances d'une série de filets de sécurité de différentes configurations testés sous des impacts à faible vitesse. Les performances globales des différentes configurations des réseaux sont également présentées. Des conclusions et des recommandations liées à la configuration du réseau et aux détails de connexion sont fournies. Bertolo et coll. [17] ont proposé une procédure de test pour évaluer les performances globales du filet de protection. Ils ont constaté que les résultats des tests du filet de protection capturaient efficacement la courbe charge-déplacement pendant les tests, fournissant ainsi une représentation précise de son comportement. Escallon et coll. [18] ont développé un modèle d'éléments finis pour analyser les filets de protection. Ce modèle intègre la plasticité et le comportement aux dommages du matériau et représente avec précision les courbes charge-déplacement non linéaires observées lors d'essais expérimentaux. Wang et coll. [19] ont mené un essai en soufflerie en utilisant un modèle réduit pour analyser les méthodes permettant d'atténuer la déflexion induite par le vent dans les structures de filets d'étanchéité. Ils ont spécifiquement étudié l'impact de l'utilisation de câbles en forme de huit à différents angles et positions pour contrôler la déviation du filet d'étanchéité par le vent. Dans le domaine de l'ingénierie des structures, des recherches ont été menées tant au niveau national qu'international pour prendre en compte de manière exhaustive divers facteurs lors de l'analyse des structures. Ces facteurs comprennent les propriétés des matériaux, les formes géométriques, les conditions aux limites ainsi que la force et la direction des charges de vent. Pour mieux comprendre des structures similaires, les chercheurs ont utilisé des méthodes de simulation numérique et des approches de tests expérimentaux appropriées. Ces recherches se sont concentrées sur l'étude des réponses non linéaires présentées par de telles structures, y compris le comportement non linéaire des matériaux, les effets de non-linéarité géométrique et la non-linéarité de contact.

Selon des recherches antérieures, des chercheurs nationaux et internationaux ont étudié de manière approfondie les matériaux, les performances mécaniques et la résistance des structures en filets d'étanchéité. En conséquence, les structures en filets d'étanchéité ont été largement utilisées dans les projets d'ingénierie, soulignant l'importance d'assurer leur sécurité et leur fiabilité. Cependant, les recherches actuelles manquent d'études complètes et de considération suffisante de la réponse aux vibrations induites par le vent et du contrôle du déplacement induit par le vent des structures de filets d'étanchéité sous l'effet du vent.

conditions de chargement. Cet écart existe principalement en raison de la nature complexe et interconnectée du problème. L'influence de la charge de vent sur les structures en filet d'étanchéité implique divers facteurs, notamment la réponse dynamique de la structure, les caractéristiques de la charge de vent et la forme géométrique, qui doivent tous être considérés de manière globale. De plus, les structures en filet scellées sont susceptibles de subir des déformations et des déplacements importants en cas de vents violents, ce qui peut entraîner de graves conséquences telles que des dommages structurels ou des limitations fonctionnelles. Par conséquent, l'étude du contrôle des déplacements induits par le vent revêt également une grande importance. Pour améliorer les performances de sécurité des structures en filets d'étanchéité, il est crucial de mener des recherches et des analyses approfondies sur la réponse aux vibrations induites par le vent et les déplacements induits par

4 sur 33

Cette étude analyse de manière exhaustive la réponse induite par le vent des structures de filets d'étanchéité pour simuler leur comportement sous l'action du vent. L'analyse prend en compte des facteurs tels que la distance de décrochage, la vitesse du vent, la force de prétension des câbles porteurs et l'angle du vent. De plus, l'étude examine l'impact des angles de disposition et des méthodes de câbles de tension supplémentaires sur la déviation induite par le vent des structures de filets d'étanchéité. Sur la base de ces résultats, des recommandations sont fournies concernant la disposition des structures de filets d'étanchéité afin de prévenir et de contrôler efficacement les déflexions induites par le vent. Cette recherche contribue à compléter les progrès actuels en matière d'analyse des vibrations du vent et de contrôle du déplacement du vent et établit une base théorique pour améliorer davantage les performances de sécurité des structures en filets d'étanchéité.

2. Simulation des charges de vent sur les structures de filets d'étanchéité

Dans les structures en filet d'étanchéité, les charges de vent ont un impact significatif en raison de leurs caractéristiques inhérentes. Il est donc essentiel d'étudier les mécanismes de réponse des structures en filet d'étanchéité lorsqu'elles sont soumises à des charges de vent. Cela implique d'obtenir des informations spécifiques sur le champ de vent et les charges de vent agissant sur le filet d'étanchéité. Dans ce chapitre, nous nous concentrerons principalement sur la présentation des connaissances théoriques sur le vent et la simulation du champ de vent là où se trouvent les structures de filets d'étanchéité. Les connaissances théoriques fondamentales du vent comprennent divers aspects, tels que les caractéristiques moyennes du vent et les caractéristiques du vent turbulent. Dans cette étude, les caractéristiques du vent pulsé ont été prises en compte et la méthode de superposition harmonique [20] a été utilisée. De plus, le spectre de Davenport [21] a été utilisé comme spectre cible pour simuler le champ de vent à différentes vitesses de vent. La précision des résultats de simulation a été validée, puis la vitesse du vent a été convertie en historique temporel de la charge de vent. Ce profil de charge de vent converti a servi de charge d'entrée pour la structure, établissant ainsi les bases de l'étude de l'analyse temporelle de la réponse vibratoire induite par le vent dans le structure nette.

2.1. Caractéristiques du vent

Le vent fait référence au mouvement de l'air par rapport à la surface de la Terre, entraînant un flux d'air à une vitesse spécifique. L'analyse des données de vent observées révèle que la variation de la vitesse du vent au fil du temps comprend deux composantes principales. La première composante est la vitesse moyenne du vent, représentée par U, qui, malgré sa nature dynamique, présente un comportement proche d'une force statique. La deuxième composante est la vitesse du vent pulsé µ, caractérisée par des fluctuations qui introduisent des effets dynamiques sur les structures. L'impact de ces deux composantes de la vitesse du vent sur les structures peut être examiné indépendamment. Elle peut être réalisée en considérant la contribution à la fois du vent moyen analysé en termes de forces statiques et du vent pulsé étudié en termes de forces dynamiques.

2.2. Caractéristiques moyennes du vent

Au cours d'un intervalle de temps spécifique, la force exercée par le vent moyen sur différents types de structures reste constante en ampleur et en direction. L'ampleur de la vitesse moyenne du vent est affectée par la hauteur de l'emplacement simulé. Au sein du

couche limite atmosphérique, la variation de la vitesse moyenne du vent avec l'altitude est caractérisée par le profil moyen du vent. L'équation du profil du vent selon la loi de puissance est donnée comme suit :

$$\frac{\overline{U}}{=} = \left(\frac{z}{z_{S}}\right)^{\alpha} \tag{1}$$

5 sur 33

Dans cette expression, U représente la vitesse moyenne du vent à une hauteur donnée, z représente la hauteur en un point donné, Us représente la vitesse moyenne du vent à la hauteur de référence. hauteur, Zs représente la hauteur de référence, et α représente les coefficients de rugosité.

Les réglementations sur la charge des bâtiments exigent l'utilisation d'un profil de vent exponentiel Équation (1) pour déterminer les charges de vent sur les structures. Cette équation est classée en quatre groupes basés dans différentes conditions de rugosité du sol, avec des coefficients de rugosité correspondants α affectés à différents types de terrains. Ces coefficients sont détaillés dans le tableau 1.

Tableau 1. Coefficient de rugosité et hauteur du vent sous différents reliefs.

Catégorie	Description géomorphologique Mers,	zG (m)	α
UN	îles, côtes, bords de lacs et régions arides.	300	0,12
В	Champs, zones rurales, jungles ainsi que villes petites et moyennes peu peuplées et banlieues urbaines.	350	0,16
С	Zones urbaines avec des grappes de bâtiments denses.	400	0,22
D	Zones urbaines des grandes villes avec des agglomérations denses et un grand nombre de	450	0,30
	immeubles de grande hauteur.		

2.3. Caractéristiques du vent pulsé

Le vent pulsé démontre des fluctuations stochastiques dans le temps et dans l'espace ; cependant , ses propriétés fondamentales peuvent encore être capturées par des approches probabilistes.

L'analyse statistique d'échantillons de séries chronologiques de vitesse du vent obtenus à partir de mesures empiriques montre que le vent turbulent présente une non-stationnarité notable, ce qui n'est pas le cas. en fonction du vent moyen. Cette non-stationnarité peut être représentée de manière adéquate par un Processus stochastique stationnaire gaussien avec une moyenne nulle.

La réponse dynamique des structures aux vibrations provoquées par le vent dépend principalement de le mouvement turbulent du vent fluctuant. La turbulence se produit à la suite de l'interaction parmi les petits vortex formés en raison d'obstructions dans le flux du vent. La caractérisation de la turbulence implique quatre éléments essentiels : l'intensité de la turbulence, l'échelle intégrale de la turbulence, spectres de vitesse du vent fluctuante turbulente et densité spectrale croisée

L'intensité des pulsations est une mesure couramment utilisée pour caractériser l'atmosphère. turbulence. Plus précisément, il quantifie le niveau de turbulence dans le sens du courant à un moment donné. étant donné la hauteur z, et l(z) est défini comme :

$$ie(z) = \sigma v f(z)/U(z)$$
 (2)

Dans l'équation, I(z) désigne l'intensité de la turbulence à la hauteur z, σv f(z) représente la valeur quadratique moyenne de la vitesse du vent fluctuant dans le sens du courant, et $\overline{U}(z)$ correspond à la vitesse moyenne du vent à la hauteur z. En raison de la diminution progressive de la moyenne des racines valeur carrée de la vitesse du vent fluctuante σv f(z) et de l'augmentation concomitante de la vitesse moyenne du vent $\overline{U}(z)$ avec l'augmentation de la hauteur, l'intensité de la turbulence I(z) présente un tendance à la baisse à mesure que la taille augmente.

Spectre d'énergie éolienne pulsée

Dans les applications pratiques, le vent pulsé est souvent rencontré comme un vent pulsé avec trois dimensions : dans la direction du vent, perpendiculairement à la direction du vent, et turbulences verticales. La turbulence verticale a une valeur numérique négligeable et peut être négligé quant à son impact sur la structure. La turbulence du vent traversier est également relativement petit et son mécanisme d'action est complexe. Par conséquent, ce chapitre uniquement

se concentre sur l'influence des turbulences en aval sur la structure. Le spectre de l'énergie éolienne pulsée décrit la répartition de l'énergie éolienne pulsée dans le domaine fréquentiel. Il reflète la contribution des différentes composantes de fréquence du vent pulsé à l'énergie cinétique totale de la pulsation turbulente. Sur la base des caractéristiques de grande portée et de douceur de la structure du réseau de câbles et de la variation minimale de la hauteur du plan de fermeture du réseau, le spectre de vitesse du vent de Davenport, qui reste constant le long de la hauteur, est utilisé. L'expression du spectre de vitesse du vent de Davenport est la suivante :

$$Sv(n) = 4kv10^{2} \frac{^{2x_{-}}}{n(1 + x2)^{4/3}}$$
 (3)

6 sur 33

où x = 1200 n/v = 1200 n/v

Les vents pulsés présentent à la fois des propriétés d'autocorrélation et des corrélations spatiales [22]. La corrélation spatiale des vents pulsés peut être décrite à l'aide de la fonction de cohérence, qui peut être représentée mathématiquement par une fonction de décroissance exponentielle. L'expression pour la fonction de cohérence est la suivante :

$$Coh(\omega) = \exp -C \frac{\omega r}{2\pi v(\bar{z})}$$
 (4)

où C est le coefficient d'atténuation, ω est la fréquence circulaire, r est la distance entre deux points de l'espace et v(z) est la vitesse moyenne du vent à \overline{la} hauteur z.

La fonction de cohérence exponentielle est influencée par la distance, la fréquence et la vitesse moyenne du vent. On peut en déduire que lorsque la distance entre deux points diminue, la fréquence diminue, la vitesse moyenne du vent augmente et la corrélation spatiale devient plus forte.

Coh(
$$\omega$$
) = exp $\frac{-2 \operatorname{ncx} 2(xi - xj)}{v(zi) + v(zj)}$ $\frac{2}{+\operatorname{cy} 2(yi - yj)}$ $\frac{2}{+\operatorname{cz} 2(zi - zj)}$ (5)

où cx, cy et cz sont les coefficients d'atténuation spatiale dans les directions x, y et z , respectivement. D'après l'expérience, les coefficients d'atténuation spatiale dans les trois directions sont fixés à 16, 8 et 10. v(zi) sont les vitesses moyennes du vent à chaque hauteur pour les points i et j, respectivement.

2.4. Simulation de l'historique de la vitesse du vent

Dans cette étude, l'analyse de la réponse aux vibrations du vent de la structure du filet d'étanchéité est réalisée à l'aide de la méthode du domaine temporel. Avant l'analyse, il est nécessaire de simuler l'évolution temporelle de la vitesse du vent pour la structure. La simulation utilise plusieurs paramètres clés, présentés dans le tableau 2.

Dans le cas de la structure de grille de 200 m de portée, les historiques de vitesse du vent en 61 points ont été simulés à l'aide du logiciel MATLAB. Compte tenu de la simulation de la vitesse du vent dans cette étude, une large gamme de vitesses du vent a été prise en compte. Cependant, pour les besoins de cette étude, nous présentons les résultats pour une vitesse de base du vent de 10 m/s. Les positions des 61 points de simulation sont indiquées sur la figure 3. La courbe de l' historique temporel de la vitesse du vent pulsé au nœud où le filet d'étanchéité s'étend au milieu et l'auto-alimentation est affichée sur la figure 4.

Méthode de simulation

Méthode de superposition harmonique

Modèle de vitesse moyenne du vent Pression de base du vent (kN/m²)

Catégorie de rugosité du sol Facteur de

Loi exponentielle 0.35

Bâtiments 2023, 13, 2947 rugosité du sol Spectre de puissance Classe B 0.16

7 sur 33

cible Nombre de points de Spectre de Davenport 61 simulation Tableau 2. Principaux

paramètres de la simulation du champ de vent.
Temps total/intervalle de temps de l'historique (s) de la vitesse du vent

300/0,01 Valeu 2048

Nombre de appointes de direction nage de fréquence

Fréquence vincitiale fréquence ide coupure (Hz)

0,001/10 Méthode de superposition harmonique

Modèle de vitesse movenne du

Loi exponentielle

Dans le creatife dession une subedigni llen de 2002m) de portée, les historiques de vitesse du 35 nt à 61

les points ont ét**ି ସ୍ପର୍ମନ୍ତର୍ମନ୍ତି** ଓମ୍ବରଣ ଓମ୍ବରଣ ଓମ୍ବରଣ ବିଷ୍ୟୁକ୍ତ । Glasse B

Dans cette étude, une la pur de vitesses du vent a été prise en compte. Cependant, pour la pur

Spectre de puissance cible Spectre de Davenport

Dans le cadre de cette étude, nous présentons les résultats pour la vitesse de base du vent de 10 m/s. La posi
Nombre de points de simulation 61

Les configurations des 61 points de simulation sont indiquées sur la figure 3. La courbe des pulsations Temps to arrivers de temps de l'historique (s) de la viresse du vert 300%, que 3. La courbe des pulsations

historique_tempenel&edapvinesedehventheunage/deù le filet d'étanchéité s'étend au milieu 2048u

fréquence récotomente initiales/éréque finche de la collection (et z.). 0,001/10

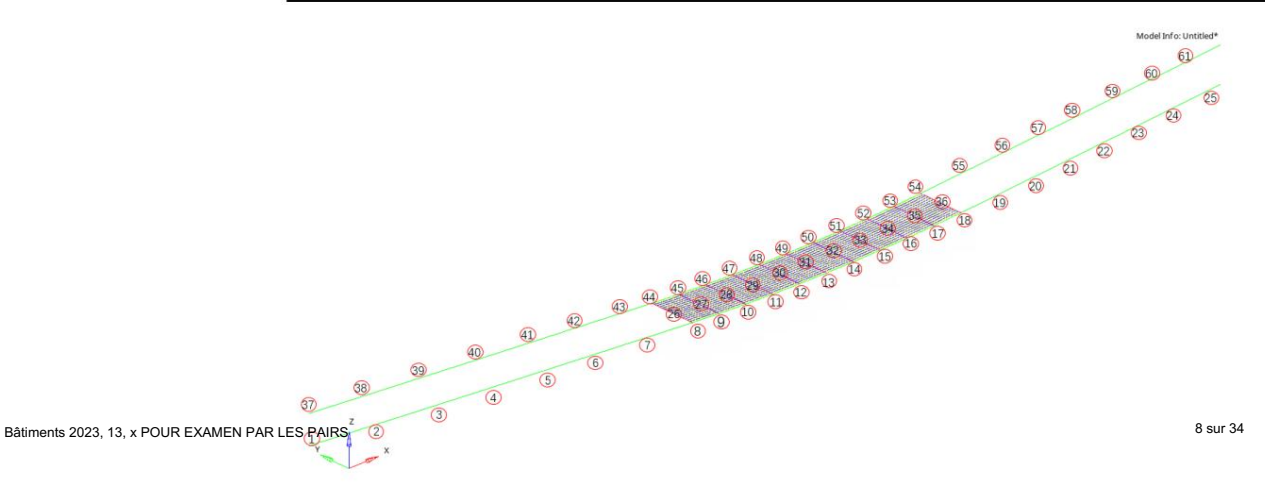
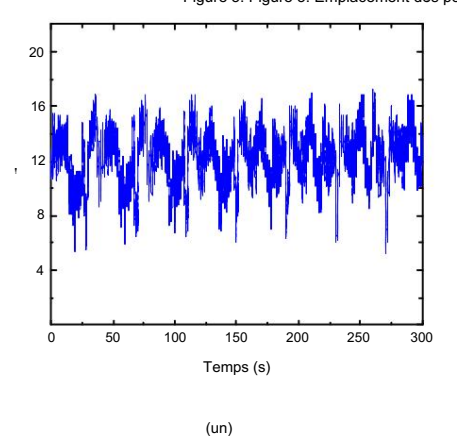


Figure 3. Figure 5.0 Calipation de la vitesse du vant



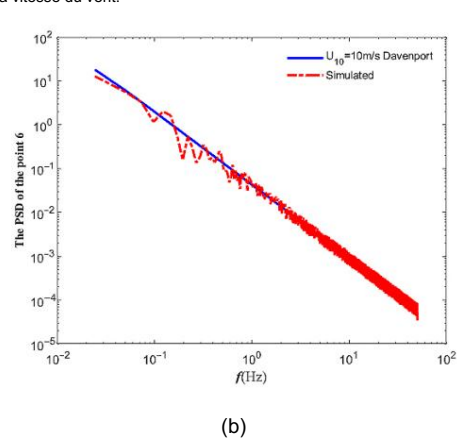


Figure 4. Simulation stochastique du champ de vent au point 13. (a) Simuler la courbe historique de la vitesse du vent Figure 4. Simulation stochastique du champ de yent au point 13. au point 13 avec une vitesse de vent de base de 10 m/s. (b) Comparaison du spectre de puissance de la vitesse du vent et spectre cible au point de simulation 13. D'après la figure 4, la distribution stochastique de la vitesse du vent simulée sur

le temps s'avère indépendant des qui correspondaux caractéristique de la vitesse du vent simulée dans le temps distribution stochastique du vent. De plus, le spectre de puissance simulé de la vitesse du vent se révele indépendant. Ce qui correspond aux caracteristiques du vent pulsé démontre un alignement plus étroit avec le spectre de Davenport. Ces résultats indiquent distribution stochastique. De plus, le spectre de puissance simulé de la vitesse du vent démontre que la simulation de Inistorique de la vitesse du vent dans cette étude présente un niveau eleve de précision. établit un alignement plus étroit avec le spectre de Davenport. Ces résultats indiquent que le cy, ce qui le rend adapte à l'analyse structurelle dynamique. La simulation de l'historique temporel de la vitesse du vent dans cette étude présente un haut niveau de précision, ce qui rend il cજાર્જા કિમા જામ કાર્યા કા

2.5. Calcul de la charge de vent convertie en charge de vent avant de l'appliquer au structurites Ptudupyents de transpela en entre de la contracture d catouts de réponse. Elle doitietre donvertie en en arge de ventravant de l'appliquer au appliqué à la ligne sur le filet d'étanchéité peut être déterminé comme suit :

$$F(t) = \frac{1}{2} (\psi z. \quad (zt/B)^2 C z(,))$$
 (6)

structure. Plus précisément, la charge de vent pulsé doit être appliquée à la charge désignée
Point sur la structure du filet d'étanchéité pour des calculs précis. La charge de vent appliquée au
La ligne sur le filet d'étanchéité peut être déterminée comme suit :

$$F(t) = \frac{1}{2}\rho(U(z) + \mu(z, t))2 B(z)C(z)$$
 (6)

8 sur 33

où ρ est la densité de l'air ; U(z) et $\mu(z,t)$ sont les vitesses moyennes et pulsées du vent à la hauteur z, respectivement ; B(z) est la largeur projetée de la structure dans le vent vertical direction; et C(z) est le facteur de forme de la charge de vent de la structure, selon la norme DL/T 5486-2020 « Spécification technique pour la conception des structures porteuses en acier de ligne aérienne de transmission » [23]. Lorsque la direction du vent s'aligne avec le vent aérien Ligne de transmission à un angle spécifique, les charges de vent sur la verticale et la ligne de transmission les composantes à la baisse sont déterminées sur la base des valeurs spécifiées dans le tableau 3. Cela vaut la peine notant que les niveaux de charge de vent subis par la structure du filet d'étanchéité et le conducteur sont comparables. Par conséquent, pour le composant du filet d'étanchéité, différents angles de vent dans le les directions verticales et descendantes sont également choisies en fonction des valeurs fournies dans le tableau 3.

Tableau 3. Charges de vent sur les lignes de fermeture sous vents angulaires.

Angle de direction du vent θ (degrés)	Direction X	Direction Y
0	0F (t)	0,25 F(t)
30	0,25 F(t)	0,19 F(t)
45	0,50 F(t)	0,13 F(t)
60	0,75 F(t)	0,06 F(t)
90	F(t)	0

3. Construction d'un modèle numérique et analyse de la réponse induite par le vent du Structure de la grille de fermeture

3.1. Modèle d'éléments finis

Cette étude se concentre sur l'étude de la structure d'étanchéité aérienne associée avec une nouvelle ligne de transmission de 500 kV. La structure de filet d'étanchéité comprend des câbles porteurs, un filet de corde isolant, des entretoises isolantes, un cadre de levage, des câbles de guidage, blocs de levier, blocs de support et ancrages au sol. Les câbles porteurs à l'intérieur du Les filets d'étanchéité sont installés sur le cadre de couverture via des poulies de support et ancrés au mis à la terre à l'aide de câbles en acier. Le cadre couvrant sert principalement à la fixation et support, exerçant une influence minimale sur la déviation du vent de la structure du filet d'étanchéité. Par conséquent, l'impact du cadre de couverture sur la déviation au vent du joint d'étanchéité net n'a pas été pris en compte dans cette étude. De plus, pour des raisons de commodité de modélisation, cette étude ne prend pas en compte les effets des lignes de traction, des palans manuels, des lignes de guidage et ancrages au sol sur la fermeture du filet. Lorsque la nouvelle ligne de transmission croisera une ligne existante en cours de construction, le filet d'étanchéité couvrant n'est pas mis en œuvre avec un cadre couvrant. Au lieu de cela, une disposition locale du filet de scellement est adoptée, et le filet de scellement prend la forme d'une combinaison de filet et de poteaux. Les câbles porteurs sont suspendus à hauteurs égales.

3.1.1. Paramètres du modèle d'éléments finis

Les paramètres associés à la structure du filet d'étanchéité ont été calculés sur la base de les lignes directrices fournies dans le « Construction Technology Guide for Tension Stringing of

Ligne de transmission aérienne lors du franchissement de lignes sous tension sans trame croisée » [24]. Les calculs ont déterminé que le filet de chasse avait une longueur de 50 m et une largeur de 8 m. Les câbles porteurs étaient suspendus à une hauteur de 30 m aux deux extrémités. Sur le net Pour l'étanchéité, 10 filets de corde isolants ont été installés, chaque filet de corde mesurant 8 m sur 5 m. De plus, un total de 11 supports isolants ont été positionnés à des intervalles de 5 m à l'intérieur du filet.

dispositif de scellement

Les câbles porteurs utilisés dans la structure du filet d'étanchéité sont composés de Dyneema cordes d'un diamètre de 16 mm, pouvant résister à une tension de rupture de 215 kN. De l'autre À la main, les cordes isolantes sont fabriquées à partir de cordes en nylon mesurant 10 mm de diamètre. Les entretoises isolantes sont des entretoises FRP ordinaires, avec un diamètre intérieur de 34 mm et un diamètre extérieur de 50 mm.

Le facteur de sécurité du câble caténaire est :

$$kW = \frac{HP}{Hs} \tag{7}$$

9 sur 33

où Hp est la tension de rupture du câble chargé et Hs est la tension exercée sur le câble chargé. câble. Conformément aux directives fournies dans « Technologie de construction des frais généraux Lignes de transport d'électricité sur les chemins de fer à grande vitesse » [25], il est nécessaire de garantir que le facteur de sécurité intégré du câble porteur répond aux exigences des spécifications et n'est pas inférieur à 6.

Les principaux paramètres structurels du filet d'étanchéité sont présentés dans le tableau 4.

Tableau 4. Principaux paramètres structurels du filet d'étanchéité.

13, x PUDÁTE KAMÉTÍF PART	LBASIMANTS 2023,	Caractéristiques	Quantité	Poids calculé 0,189 kg/	^{Utiliser} 10 sur 34
1 2 3	Corde Dyneema Filet de corde isolé Entretoise FRP ordinaire,	16 10 in34, out50 3.1.2.	n × 2 bâtons 10 feuilles 11 bâton	m 8,3 kg/feuille 5,6 kg/pièce	Câble porteur Réseau d'étanchéité Entretoises isolées

Cette étude utilise le logiciel d'éléments finis ANSYS pour effectuer une analyse dynamique sur une 1 structure et la charité de de charité de la simulation par éléments finis pour le ca structure et la charité de la simulation par éléments finis pour le ca structure et la charité de la simulation par éléments finis pour le ca structure et la charité de la simulation par éléments finis pour le ca structure et la charité de la simulation par éléments finis pour le ca structure et la charité de la simulation de la simulation de la simulation de la charité de control de la charité de la charité de control de la charité de la charité de control de la charité de la c

modèle d'élément obtenu après recherche de forme.

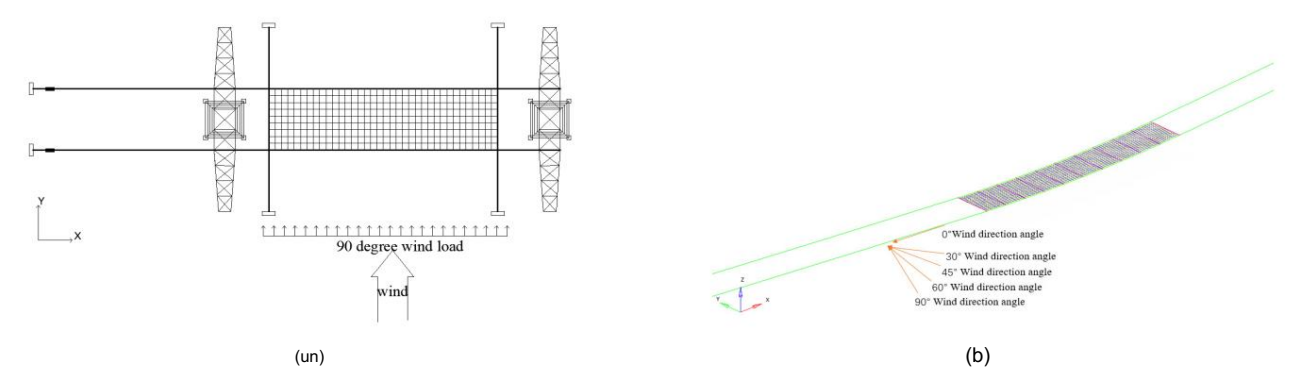


Figure 5. Modèle d'éléments finis et angle de direction du vent. (a) Direction du vent de 90° agissant sur le 15. Modèle d'éléments finis et angle de direction du vent. (a) Direction du vent de 90° agissant sur le 3.1.3. Vez le 16. Modèle de la structure du filet d'étanchéité.

Valider l'exactitude et la validité du modèle d'éléments finis pour le filet d'étanchéité structure, le filet d'étanchéité façonné subit un processus de vérification. Conformément à la méthode de calcul théorique décrite dans le « Construction Technology Guide for Ten sion de cordage de la ligne aérienne de transmission lors du franchissement de lignes sous tension sans Cross Frame » [24], le statisme d'arc correspondant du filet d'étanchéité couvrant est calculé.

3.1.3. Validation du modèle

Valider l'exactitude et la validité du modèle d'éléments finis pour le filet d'étanchéité structure, le filet d'étanchéité façonné subit un processus de vérification. Conformément à méthode de calcul théorique décrite dans le « Construction Technology Guide for Tension Enfilage d'une ligne de transmission aérienne lors du franchissement de lignes sous tension sans croisement Frame » [24], le statisme d'arc correspondant du filet d'étanchéité couvrant est calculé. Ensuite, les résultats sont comparés à ceux obtenus à partir de la simulation par éléments finis pour assurer leur cohérence.

10 sur 33

Dans les cas où la différence de hauteur de l'engrenage couvrant est égale à zéro, l'arc l'affaissement du filet d'étanchéité est mesuré au milieu de la travée. Étant donné que l'affaissement de l'arc de le filet d'étanchéité est influencé par plusieurs facteurs, notamment la distance de décrochage de la travée, la prétension du câble porteur, de la forme du filet d'étanchéité et des propriétés du matériau, les variables restantes sont maintenues constantes. En faisant varier la distance de décrochage de la travée et en tenant compte de la prétension du câble de le filet d'étanchéité comme variable indépendante, une analyse comparative entre les valeurs théoriques les valeurs et les résultats de simulation peuvent être effectués.

(1) L'espacement des décrochages du filet d'étanchéité est ajusté, l'espacement des décrochages étant variable. et la prétension des câbles porteurs fixée à 10 kN. Une comparaison entre le calcul et les valeurs théoriques du statisme de l'arc pour différents espacements de décrochage du filet d'étanchéité sont présentés dans le tableau 5.

Tableau 5. Comparaison des résultats des calci	uls.
--	------

Rapport de démultiplication (m)	Valeur calculée (m) (a)	Valeur théorique (m) (b)	Erreur (%) ((b) - (a))/(b)
100	2,56	2,64	3.03
150	4.36	4,59	5.01
200	6.19	6.54	5h35
250	8.04	8.57	6.18
300	9.91	10.58	6.33

Sur la base des résultats présentés dans le tableau 5, on peut conclure que la modification du La distance de décrochage du treillis d'étanchéité entraîne une erreur minimale entre le calcul et valeurs théoriques de la simulation par modèle d'éléments finis. L'erreur maximale observée est seulement 6,33%, ce qui indique la fiabilité du modèle.

(2) De plus, la prétension du câble porteur est modifiée, gardant la prétension comme variable et une distance de 200 m entre les stalles du filet d'étanchéité. Puis un une comparaison est effectuée entre les valeurs calculées et théoriques de la prétension. La relation entre l'affaissement de l'arc de la structure du filet d'étanchéité est également examinée et la les résultats sont résumés dans le tableau 6.

Tableau 6. Tableau comparatif des résultats de calcul.

Prétension (kN)	Valeur calculée (m) (a)	Valeur théorique (m) (b)	Erreur (%) ((b) - (a))/(b)
6	6,83	7,45	8.32
8	6,50	6,93	6h20
10	6,19	6,54	5h35
12	5,88	6,23	5,62
14	5,58	5,93	5,90

Du tableau 6, on peut déduire que lorsque l'ampleur de la force du câble porteur la prétension est ajustée, la différence entre la valeur calculée et la valeur théorique des résultats de simulation du modèle d'éléments finis est négligeable. L'erreur maximale observée n'est que de 8,32%, démontrant la fiabilité du modèle.

3.2. Analyse modale

Les caractéristiques d'auto-oscillation de la structure du filet d'étanchéité sont analysées à l'aide de Logiciel ANASYS. Étant donné que le modèle de la structure du filet d'étanchéité dans cette étude est vaste, L'analyse modale par blocs de Lanczos est utilisée [29]. Le tableau 7 présente les résultats de la première 10 fréquences et modes de vibration auto-oscillants obtenus sans application de forces externes et amortissement.

11 sur 33

Tableau 7 Caractéristiques	de la fréquence	e d'auto-oscillation et du	modèle de vibration	n de la structure d'étanchéité.

Numéro de commande modale	f/Hz	Description du mode vibration
1	0,183	Torsion dans le plan du joint
2	0,274	Joints tordus hors du plan et pliés par vibration
3	0,557	Joints tordus hors du plan et pliés par vibration
4	0,559	Torsion dans le plan du joint
5	1,011	Joints tordus hors du plan et pliés par vibration
6	1,012	Torsion dans le plan du joint
7	1,456	Joints tordus hors du plan et pliés par vibration
8	1,459	Torsion dans le plan du joint
9	1,837	Joints tordus hors du plan et pliés par vibration
10	1,841	Torsion dans le plan du joint

Le tableau révèle que les dix ordres de fréquence initiaux présentent une augmentation plus rapide, avec une différence significative. Le filet d'étanchéité subit une torsion alternée dans les deux sens. directions dans le plan et hors plan lorsque la disparité de fréquence voisine est faible ; cependant, dans la direction hors du plan, il est sujet à une flexion induite par les vibrations. Ce Ce phénomène se produit en raison de l'influence conjointe de la masse structurelle et de la rigidité sur le modèle modal. caractéristiques de la structure, l'effet de la masse étant relativement simple. La rigidité en traction de la structure d'étanchéité est principalement influencée par des facteurs tels que la tension des câbles porteurs, le rapport vecteur/portée de la surface du filet d'étanchéité et le rôle de l'entretoise isolante. Puisque la structure du filet d'étanchéité possède une grande flexibilité, sa rigidité repose principalement sur la tension, ce qui le rend très réactif aux variations des paramètres affectant la rigidité. Par conséquent, il est sensible à la flexion et à la torsion induites par les vibrations.

3.3. Méthode d'analyse dynamique de l'historique temporel par éléments finis structurels

Deux approches sont couramment utilisées pour analyser les réponses dynamiques induites par le vent dans les structures : la méthode du domaine fréquentiel et la méthode du domaine temporel. Le temps
La méthode du domaine est particulièrement adaptée à l'étude de la réponse dynamique des éléments non linéaires. systèmes structurels. Par conséquent, dans cette étude, nous adoptons la méthode du domaine temporel pour calculer la réponse dynamique structurelle. Cette approche implique l'utilisation de vibrations spécifiques et modèles structurels et en considérant les caractéristiques de force de restitution des composants. Par la suite, les équations de mouvement sont intégrées progressivement pour obtenir la évolution de la solution numérique pour la réponse structurelle.

3.3.1. Analyse de l'historique temporel dynamique transitoire

L'équation différentielle du mouvement de la structure d'étanchéité sous la charge du vent est la suivante :

[M] ..x (t) + [C] .
$$x(t)$$
 + [K]{ $x(t)$ } = {F(t)} (8)

Dans la formule, [M] est la matrice de masse de la structure d'étanchéité ; [C] est l'amortissement matrice; [K] est la matrice de rigidité. x (tx(t)) et x(t) sont l'accélération, la vitesse, et vecteurs de déplacement de la structure, respectivement ; et x et le vecteur de charge de vent auquel la structure est soumise.

Sur la base des caractéristiques spécifiques de la structure d'enceinte choisie dans cette étude, nous ont opté pour la méthode d'intégration implicite au sein de l'approche d'intégration directe pour la solution. Cette méthode élimine le besoin de transformation des coordonnées du mouvement

équations et effectue à la place une intégration numérique directement, étape par étape. Il discrétise le temps et calcule les variables de réponse au sein de chaque incrément de temps, permettant ainsi de déterminer la réponse structurelle grâce à une intégration incrémentale. Il existe plusieurs méthodes d'intégration implicites étape par étape notables, notamment la méthode Wilson, la méthode Newmark, la méthode Gurtin et la méthode d'accélération linéaire. Pour l'analyse de la réponse dynamique induite par le vent dans la structure de l'enceinte dans cette étude, nous avons utilisé la méthode Newmark- β . Cette méthode discrétise le temps en supposant les modèles de variation d'accélération dans les périodes $t+\Delta t$ de et xt du mouvement structurel à un certain instant t et en effectuant dæs æliculs intégraux pour obtenir les expressions de et $xt+\Delta t$. En les incorporant dans l'équation différentielle de mouvement (8), $xt+\Delta t$, $xt+\Delta t$, la solution de l'équation de mouvement au temps $t+\Delta t$ peut être obtenue.

La méthode Newmark- β représente l'équation d'équilibre du mouvement dans le temps t + Δt comme suit :

[M] ..
$$\times_{t+\Delta t}$$
 + [C] . $\times_{t+\Delta t}$ + [K]{x} $t+\Delta t$ = {F} $t+\Delta t$ (9)

En supposant que la vitesse et le déplacement de la structure au temps t + Δt s'expriment comme suit :

$$\dot{x}t + (1 - \gamma) ... x + \Delta t + \Delta t x t + \gamma$$
 (dix)

12 sur 33

D'après les équations (10) et (11), la vitesse et l'accélération au temps $t + \Delta t$ peuvent être représenté par le déplacement à ce moment-là comme suit :

$$\ddot{x}t + \Delta t = \frac{xt + \Delta t2}{\beta \cdot \Delta t} - \frac{xt}{\beta \cdot \Delta t^2} - \frac{\dot{x}t}{\beta \cdot \Delta t} - \frac{(\frac{1}{2} - \beta) ... xt}{\beta}$$
(12)

$$\dot{x}t + \Delta t = \frac{yxt + \Delta t}{\beta \cdot \Delta t} - \frac{yx + \Delta t}{\beta \cdot \Delta t} + (1 - \frac{y}{\gamma \beta}) \cdot xt + (1 -) \cdot xt \Delta t 2\beta$$
 (13)

$$[K^*]_{X}_{t+\Delta t} = |F^*| \tag{14}$$

$$[K *_{y}] = \frac{1}{\beta \cdot \Delta t} [M] + \qquad [C] + [K]$$

$$(15)$$

$$\{F^*\} = \{F\}t + \Delta t + [M] \cdot \frac{1}{\beta \cdot \Delta t} \beta \cdot \frac{1}{\Delta t} \dot{\beta} \cdot \frac{1}{2\beta} \dot{x}t + (\frac{1}{-1}) ... xt + [C] \cdot xt + \frac{\gamma \gamma \gamma xt - (1-) ... xt - (1-) ... \beta}{\Delta t \beta 2\beta} \dot{\beta} = xt$$
 (16)

2 Dans l'équation, les valeurs des paramètres de contrôle β et γ affectent la précision et la stabilité de l'ensemble de l'algorithme. Lorsque γ est pris égal à 1/2, l'algorithme a une précision du second ordre . À condition d'assurer la précision de l'algorithme, il est généralement pris comme $\gamma = 1/2$ et $\beta = 1/4$.

3.3.2. Définition de l'amortissement structurel

La performance de dissipation d'énergie des structures lors des processus vibratoires est un aspect crucial dans l'analyse des problèmes liés aux réponses dynamiques des structures. Actuellement, cette performance est communément évaluée à travers les caractéristiques d'amortissement de la structure. L'effet d'amortissement sur les structures se compose principalement de deux composants : l'amortissement structurel et l'amortissement visqueux. La valeur de l'amortissement structurel est influencée par des facteurs internes tels que le frottement et l'hystérésis au sein de la structure. D'autre part, l'amortissement visqueux résulte du frottement de l'air lors des vibrations structurelles et est directement proportionnel à la vitesse de vibration structurelle. Dans les applications d'ingénierie pratiques, l'amortissement visqueux est généralement pris en compte, et dans le logiciel d'éléments finis ANSYS, diverses formes d'amortissement

l'amortissement visqueux peut être défini. Le modèle d'amortissement de Rayleigh, largement utilisé, s'exprime par l'équation matricielle d'amortissement suivante :

Bâtiments 2023, 13, x POUR EXAMEN PAR LES PAIRS

$$[C] = \alpha[M] + \beta[K]$$
 (17)

13 sur 33

Dans la formule, [C] est la matrice d'amortissement de Rayleigh, et α et β sont l'amortissement de masse coefficient et coefficient d'amortissement de rigidité, respectivement. Ces deux coefficients d'amortissement 2(peut être déterminé à l'aide des deux formules suivantes :

$$\alpha = \frac{2\omega i\omega j(\xi i\omega j - \xi j\omega i)}{\omega 2 - \omega 2}$$
Dans l'équation, les et j représentent les fréquences naturelles des i et j

ordres de la structure, respectivement, tandis que et $2(\xi j\omega j - \frac{\xi i\omega i}{j})$, respectivement, représentent le modal rapports d'amortissement des ordres i et j de la structure $\beta = \frac{\xi i\omega i}{i}$ d'amortissement du câble (19)

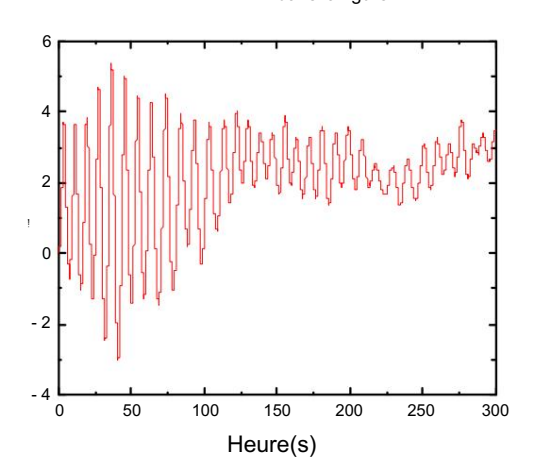
les structures peuvent généralement être considérées comme 0,02.

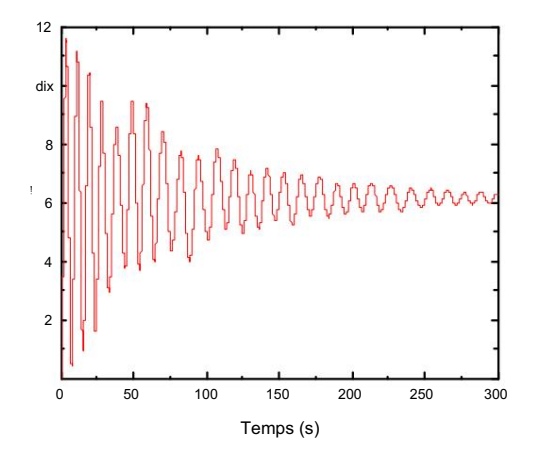
Dans l'équation, ωi et ωj représentent les fréquences naturelles des ordres i et j du

structure, respectivement, tandis que ξi et ξj , respectivement, représentent les rapports d'amortissement modal de 3.4. Analyse de la réponse aux vibrations du vent du filet d'étanchéité lorsque l'angle du vent change les ordres i et j de la structure. Le taux d'amortissement des structures de cables peut generalement être pris télunte qualitéraire la vent de la structure du filet d'étanchéité

Selon différentes directions du vent, cette étude considère quatre angles de vent : 30 degrés, 45 degrés. degrés degrés de sérons de se se sérons de la serons de la sérons de la sérons de la serons de la sérons del sérons de la sérons de la sérons de la sérons de la sérons de l

le rapport est réglé à 200 m. Une charge de vent pulsé simulée est appliquée à la charge sélectionnée Les deux extrémités de la structure du filet d'étanchéité sont fixes et lorsque la charge du vent agit point sur la structure du filet d'étanchéité pour analyser sa réponse vibratoire au vent. Norizontalement, elle peut être simplifiée comme une force uniforme. Compte tenu des contraintes du Les deux extremités de la structure du filet d'étanchéité sont fixes et lorsque la charge du vent agit structure du filet d'étanchéité sont fixes et lorsque la charge du vent agit structure du filet d'étanchéité sont fixes et lorsque la charge du vent agit structure du filet d'étanchéité de l'étanchéité sont fixes et lorsque la charge du vent agit structure du filet d'étanchéité comme une déplacement à mi-portée de l'étanchéité de





(a) Angle du vent de 30 degrés

Figure 6. Suite.

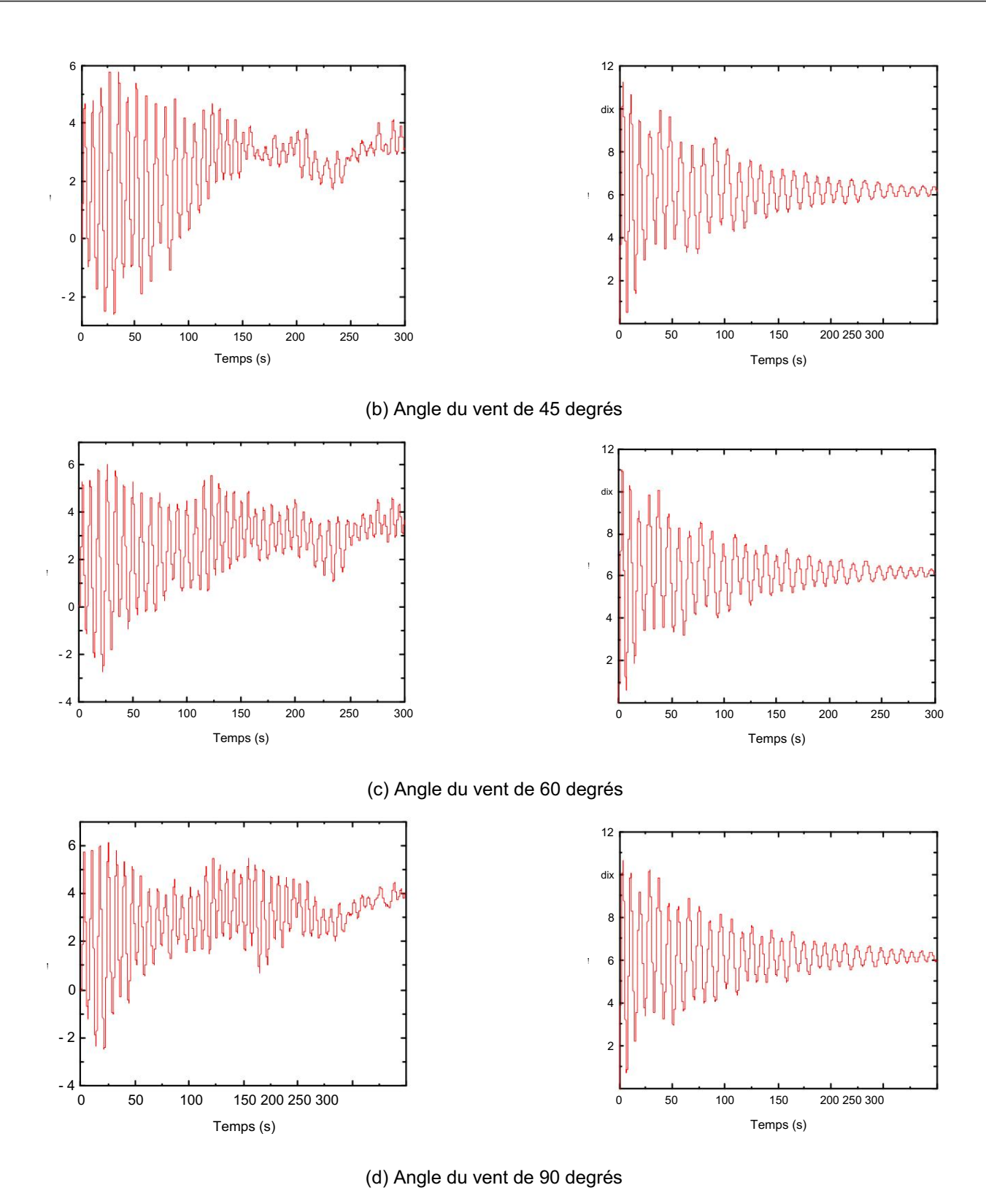


Figure 6. Historique temporel des déplacements de travée à travée sous différentes directions de vent pour le phoque. Figure 6. Historique temporel des déplacements de travée à travée sous différentes directions de vent pour le scellement structure nette.

Selon la figure 6, lorsque la vitesse de base du vent est de 10 m/s et la portée est de 200 m, le déplacement induit par le vent de la structure d'étanchéité diminue à la fois dans le sens horizontal et les directions verticales. Plus précisément, l'amplitude de fluctuation du filet d'étanchéité dans le la direction horizontale diminue progressivement, présentant finalement des vibrations aléatoires à l'intérieur

une certaine gamme. En revanche, l'amplitude de fluctuation dans le sens vertical tend converger vers une valeur spécifique. Ceci est une conséquence de l'interaction entre les structures vibrations, friction de l'air et viscosité du matériau, qui dissipent progressivement l'énergie et réduisent l'amplitude des oscillations. La figure 7 montre que la contrainte maximale à la fin du Le câble porteur se produit pendant la phase de chargement initiale. À mesure que le temps de chargement augmente, le le stress se stabilise progressivement. En effet, pendant la phase de chargement initiale, le roulement Le câble subit une force externe importante, conduisant à la valeur de contrainte la plus élevée. Au fil du temps, le câble s'adapte progressivement à cette charge externe et subit une déformation élastique, provoquant le stress à diminuer. Une fois que le câble s'est adapté à la charge externe et a atteint une position stable

Dans cet état, la contrainte ne subit plus de modifications significatives et la courbe tend à se stabiliser.

15 sur 33

Bâtiments 2023, 13, x POUR EXAMEN PAR L**ESTRAIRES** ysant la réponse aux contraintes à l'extrémité du câble porteur sous différentes prétensions, on peut en déduire qu'une prétension plus élevée appliquée au câble porteur entraîne une contrainte plus importante à la fin.

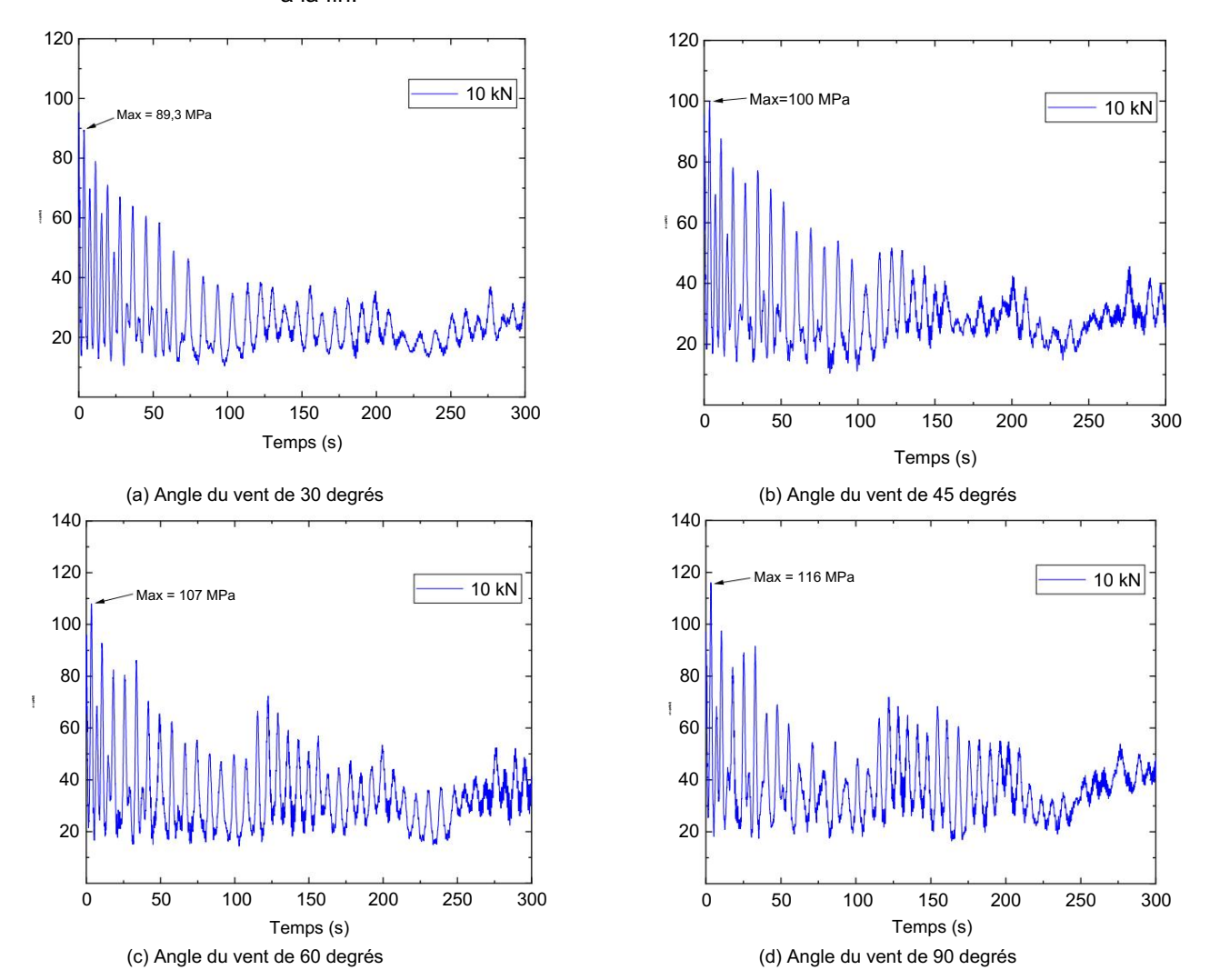


Figure 7. Historique temporel des contraintes à l'extrémité du filet d'étanchéité sous différentes directions de vent. Figure 7. Historique temporel des contraintes à l'extrémité du filet d'étancheite sous différentes directions de vent.

Compales la lighte findemedayites and eventurate state of any and in the state of any and in the state of any and in the state of the

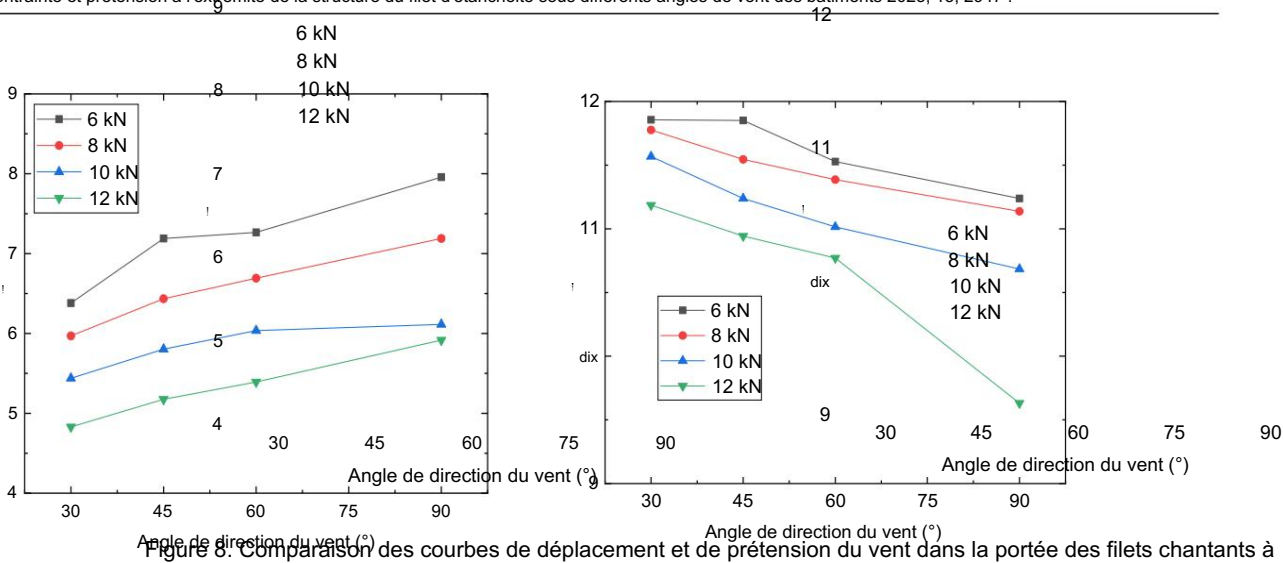
La réaction a tendance à converger vers une valeur spécifique. C'est une conséquence de l'interaction entre entre les vibrations structurelles, le frottement de l'air et la viscosité du matériau, qui se dissipent progressivement l'énergie et réduit l'amplitude des oscillations. La figure 7 montre que le maximum

la contrainte à l'extrémité du câble porteur se produit pendant la phase de chargement initiale. Comme la charge le temps de travail augmente, le stress se stabilise progressivement. En effet, lors du chargement initial phase de fonctionnement, le câble porteur subit une force externe importante, ce qui entraîne une pression élevée. valeur de contrainte la plus élevée. Au fil du temps, le câble s'adapte progressivement à cette charge externe et

16 sur 33

entre contrainte et prétension à l'extrémité de la structure du filet d'étanchéité sous différents angles de vent.

entre contrainte et prétension à l'extrémité de la structure du filet d'étanchéité sous différents angles de vent des bâtiments 2023, 13, 2947



différents angles de vent.
Figure 8. Comparaison des courbes de déplacement et de prétension de déflexion du vent pendant la durée de scellement Figure 8. Comparaison des courbes de deplacement et de prétension du vent dans l'étendue des fillets à phoques à différents angles de vent.

fillets sous différents angles de vent.

6 kN 8 kN 140 10 kN 6 kN 120 130 12 kN 8 kN 10 kN 110 120 12 kN 100 110 100 90 90 80 80 70 70 60 30 75 90 60 75Angle de stirection du vent (°) 30 60

La structure du filet est de 90 degrés.

Angle de direction du vent (°) Figure 9. Comparaison des courbes de contrainte d'extrémité et de prétension des filets d'étanchéité à différents angles de vent.

Figure 9. Comparaison des courbes de contrainte d'extrémité et de prétension des filets d'étanchéité à différents Figure 9. Comparaisgies des courbes de contrainte d'extremité et de prétension des filets d'étancheite dans vent dérape .

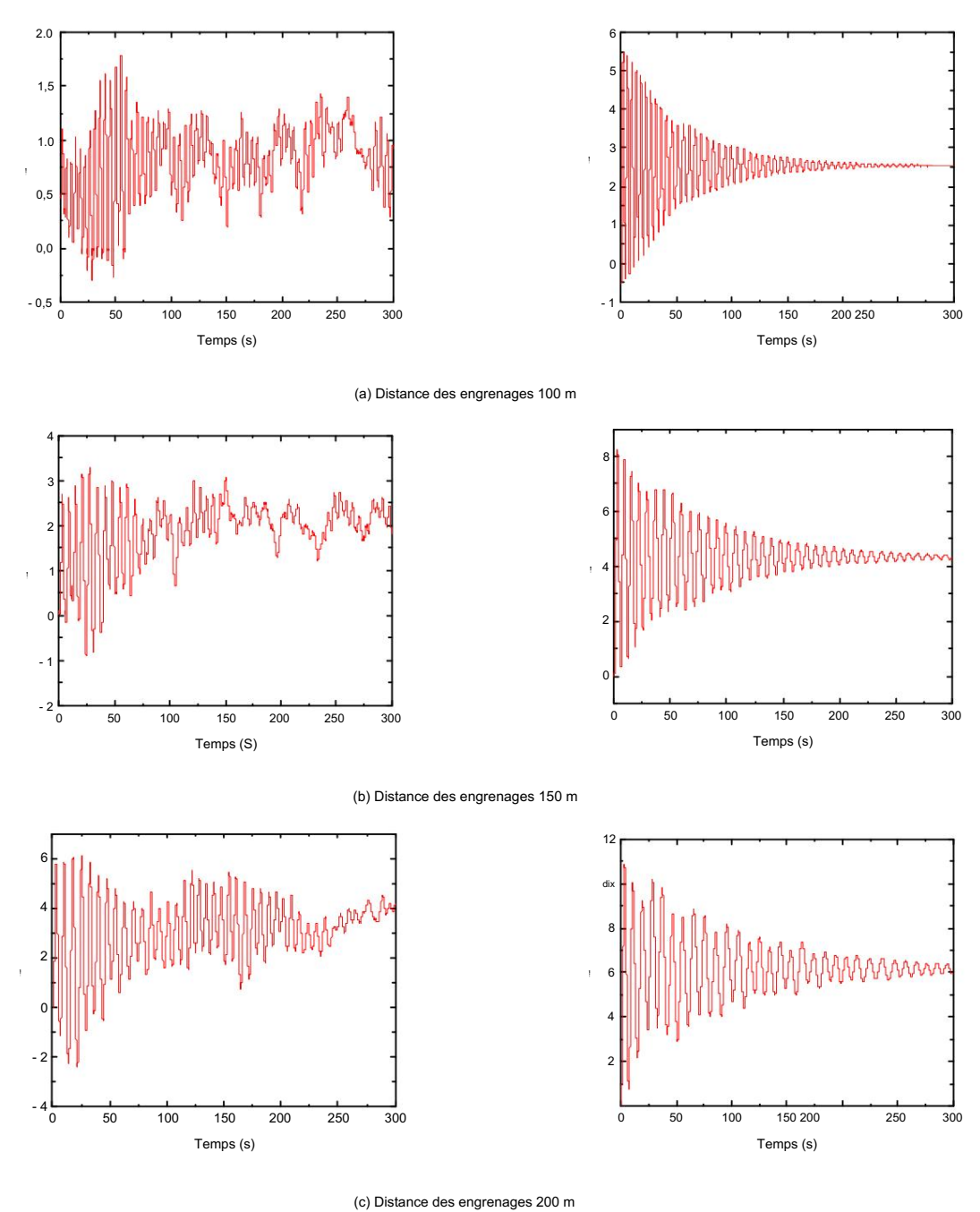
Vent dérape .

Figure 9. Comparaisgies des courbes de contrainte d'extremité et de prétension des filets d'étancheite dans vent des différentes directions de vent, horizontales et verticales, sous différents angles de vent. La déviation du le placement de la structure du filet d'étanchéité augmente dans la direction horizontale à mesure que le vent

d'elevation, l'annieure filet d'étanchéiré alle la déficion principe de la réponse de la sur motion de la sur le la déficie de la companie de la sur le la companie de la c

différentes lignes de transmission. Dans la construction réelle, la distance de travée choisie pour le

le filet de scellement varie généralement de 100 à 300 m ou moins [31]. Par conséquent, la distance de portée



(c) Distance des englenages 200

Figure 10. Suite.

Bâtiments 2023, 13 x POUR EXAMEN PAR LES PAIRS Bâtiments 2023, 13 x POUR EXAMEN PAR LES PAIRS



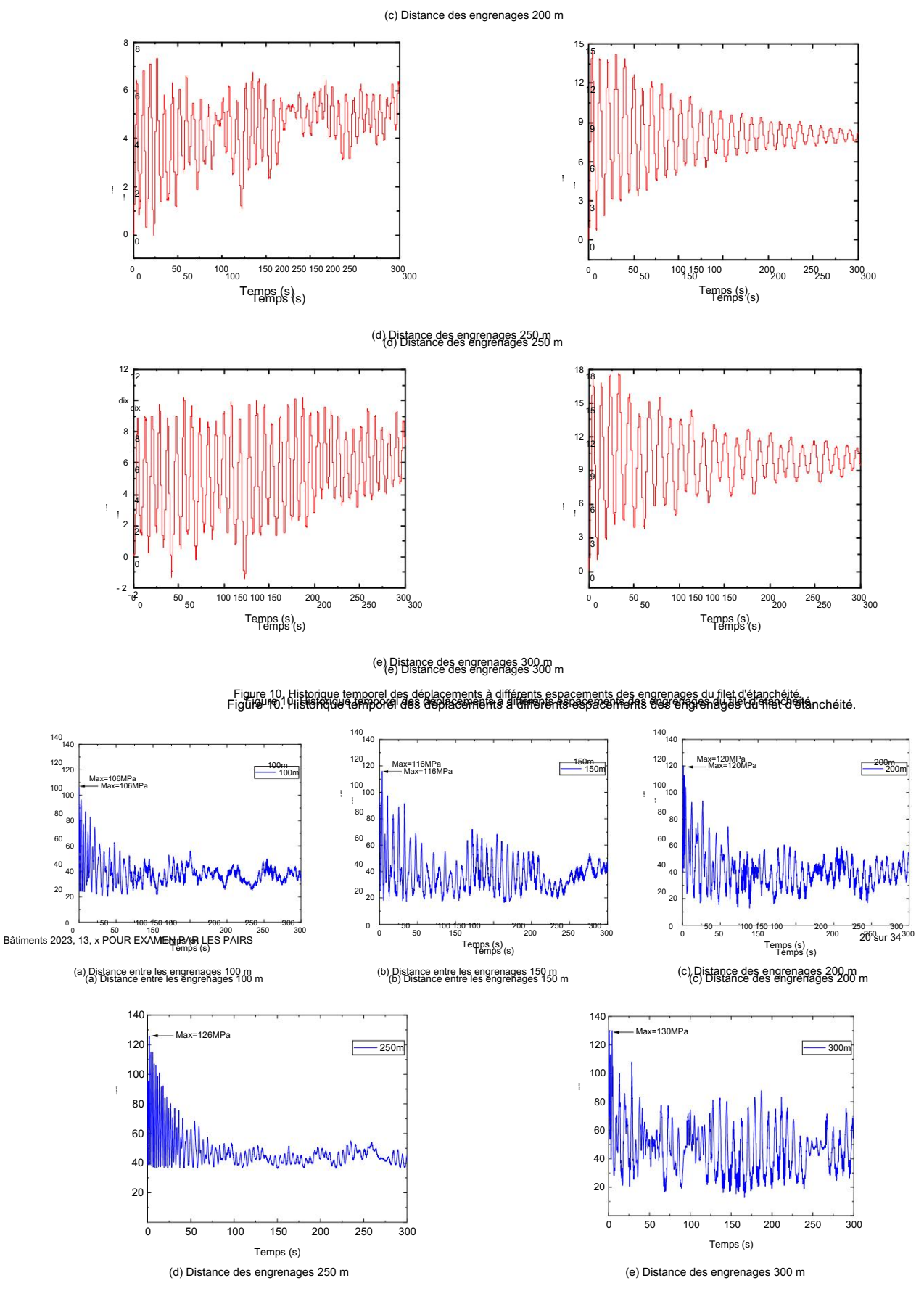


Figure 11. Historique temporel des contraintes à l'extrémité des câbles porteurs avec différents espacements d'engrenages. Figure 11. Historique temporel des contraintes à l'extrémité des câbles porteurs avec différents espacements d'engrenages.

La contrainte maximale à l'extrémité du câble en treillis d'étanchéité se produit dans un intervalle de 5 s avant le

Figure 11. Historique temporel des contraintes à l'extrémité des câbles porteurs avec différents espacements d'engrenages

Sur la base de l'analyse des figures 10 et 11, on peut observer que lorsque la vitesse du vent dominant est de

10 m/s et que l'angle de direction du vent est de 90 degrés, l'h

l'oscillation du filet d'étanchéité diminue en amplitude et finit par atteindre. Sur la base de l'analyse des germente and l'étanchéité diminue en amplitude et finit par atteindre. Sur la base de l'analyse des germente and l'étanchéité de la vierse du vent est de 10 m/s et l'angle charite de se anne di diminue en anne de contrainte sur la structure. De plus, avec le pa, la fin dù câble en treillis d'étanchéité se produit dans un intervalle de 5 s avant l'application d'un emps, la valeur de contrainte se stabilise progressivement dans une plage définie charge de vent fluctuante sur la structure. De plus, au fil du temps, la valeur de contrainte définie. Suite à l'organisation des données calculées, la figure 12 présente la stabilisation progressive dans une plage courb de side département des la structure d'étanchéité pour différentes portées. De plus, suite à l'organisation courrit des la normations sur les contraintes à l'extremité de la structure d'étanchéité associées à avec des portées variables.

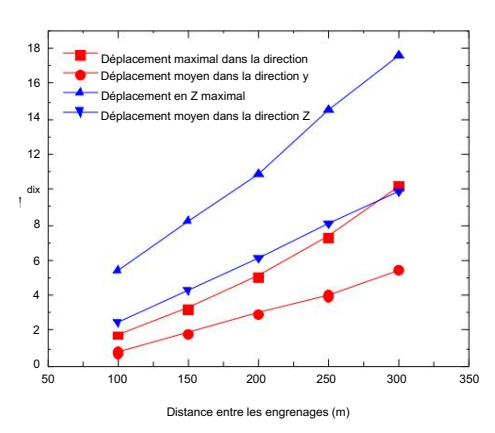


Figure 12. Modifications du déplacement de la structure d'étanchéité avec différents espacements d'engrenages. Figure 12. Modifications du déplacement de la structure d'étanchéité avec différents espacements d'engrenages.

Tableau 8. Contrainte à l'extrémité du filet d'étanchéité avec différentes portées.

leau 8. Contrainte à l'extrémité Espacement des jauges (m)	du filet d'étanchéité Contrainte maximale (l	avec différen ^{MPa})	tes portées. Valeur moyenne de contrainte (MF	Pa)
Espacement des jauges (m)	Contrainte maximale	e (MPa) Vale	ur moyenne de la contrainte	
200100	119,8	106.3	40,5	38,0
259 ₅₀	125,7	116.0	46,9	38.
300	129,6	119.8	47.2	40.

La figure 12 illustre les déplacements importants du vent dans le sens horizontal et vertical. directions du filet d'étanchéité. L'ampleur de ces déplacements augmente avec l'augmentation espacement des stalles, indiquant une influence significative des changements d'espacement des stalles sur le filet d'étanchéité déplacement du vent. Les déplacements verticaux varient de 100 m à 300 m de pas. Avec un 50 m La figure 12 illustre les déplacements substantiels du vent dans l'augmentation horizontale du pas, le déplacement maximal d'une travée à l'autre du filet d'étanchéité augmente de directions tiques du filet d'étanchéité. Les magnitudes de ces déplacements augmentent de 2,108 m horizontalement et de 3,030 m verticalement. Ce constat met en évidence l'impact considérable de pas share du moi le déplacement de décrochage déplacement de la travel de la structure d'étanchéité. Simultanément, la charge du vent sur la structure d'étanchéité génère une force combinée accrue, conduisant à des contraintes plus élevées à

sur la structure d'étanchéité génère une force combinée accrue, conduisant à des contraintes plus élevées à l'extrémité du câble porteur. Pour une distance de 300 m, la contrainte maximale atteint environ 129,6 MPa, avec un coefficient de sécurité de 9,67, indiquant que la contrainte reste dans une plage de sécurité.

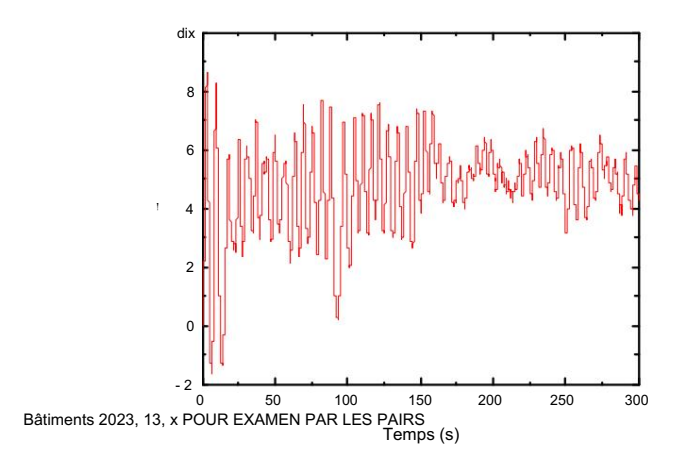
Par conséquent, le déplacement du vent et les contraintes dans chaque direction ascendante du joint d'étanchéité la structure nette augmente avec des distances d'engrenage plus grandes. Lors de la construction de lignes aériennes, il est recommandé de choisir des distances d'engrenage plus petites pour sceller le filet afin minimiser le déplacement du vent et les contraintes sur la structure du filet d'étanchéité, garantissant ainsi la sécurité.

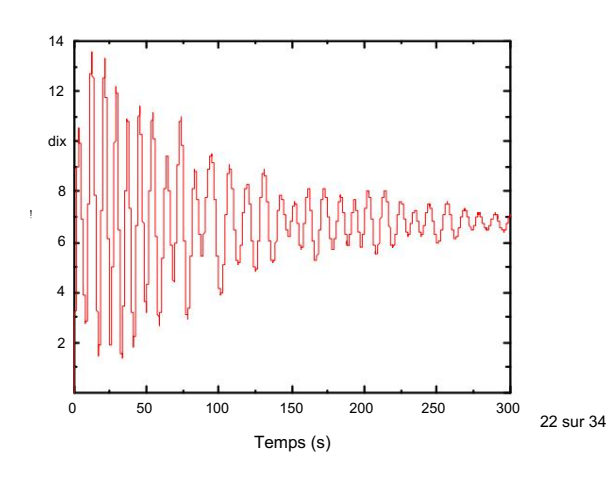
Par conséquent, l'espacement entraîne une contrainte dans chaque direction ascendante où la structure Machine Translated by Google du filet de mer augmente avec les distances d'engrenage plus grandes. Lors de la construction de lignes aériennes, il est recommandé de choisir des distances d'engrenage plus petites pour sceller le filet afin de minimiser le déplacement du vent et les contraintes sur la structure du filet d'étanchéité, garantissant ainsi la sécurité.

Bâtiments 2023, 13, 2947

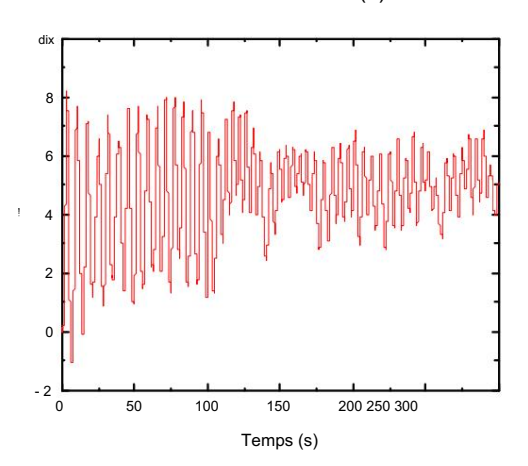
3.6. Analyse de la réponse aux vibrations du vent du filet d'étanchéité lorsque la tension du câble porteur et la vitesse du vent changent

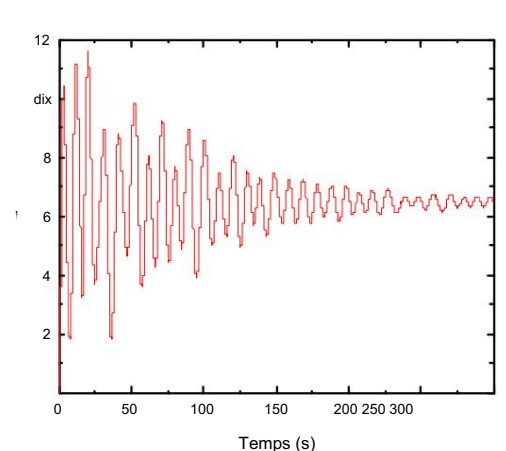
la réponse aux des rafibles quo deut si estien d'écheuch énécleis qui effecte séc déplacable podre ve et. la fotés selyce de d'생활하다음과 양한 성상하는 trant la prétension des câbles porteurs, la distension du vent peut être efficacement lors du placerôléat da fécisibétaleshéátileSeppetedantesé titefactétanchébiélegüliaffectache. Déplacementatut lent s lab motos terrequell que matroq e el tresi vera e historia de acceptación en la residencia de la contraction de la con soffice general de the files de terminate de transfer de terminate de transfer de terminate de transfer de transfe ıa etifansigan desnêhles norteura sontépalerorats eunissàunes iterationale salense charqu'il sagot source iter conditions me coefficient de sécurité inférieur. Pandant la construction de la structure de converture des du filet d'étanchéité dans cette étude, il est prévu que la structure érigée puisse être confrontée à des conditions venteuses. Quatre niveaux de prétension différents ont été sélectionnes pour les cables porteurs : 6 kN, 8 kN, 10 conditions. Compte tenu des circonstances réelles, quatre niveaux de prétension différents étaient kN et 12 kN. Ces valeurs de prétension ont été choisies pour garantir une utilisation sure des câbles porteurs sélectionnés : 6 kN, 8 kN, 10 kN et 12 kN. Ces valeurs de prétension concernaient des câbles porteurs. Etudier la réponse aux vibrations du vent de la structure de fermeture choisie pour garantir l'utilisation sûre des câbles porteurs. Pour étudier les vibrations du vent à différentes vitesses de vent, des simulations ont été réalisées pour cinq vitesses de vent différentes : 6 m/s, réponse de la structure de fermeture à différentes vitesses de vent, des simulations ont été réalisées pour cinq vitesses de vent différentes : 6 m/s, réponse de la structure de fermeture à différentes vitesses de vent, des simulations ont ete realisées pour 8 m/s, 10 m/s, 12 m/s. S et 14 m/s. La distance de décrebage était fixée à 200 m et la direction du vont à cinq vitesses différentes : 6 m/s, 8 m/s, 10 m/s, 12 m/s. décrochage était fixée à 200 m et la direction du vent à cinq vitesses différentes : 6 m/s 8 m/s 10 m/s 12 m/s et 14 m/s. L'angle de distance de décrochage de 90 degrés à été utilisé pour le calcul et l'analyse des vikrtibrady verteatéfrásó 200 grahu nambedediordinody vertdail 2 depéaia átánutilé filovique de est Galcyle et d'analyse el edéplacement à mi-portée est extrait lorsque la vitesse du vent est de 14 m/s, ce qui raison duavandvandnedaraxonditiessobatravail. Aeutle diapgavens d'eistoristretornarah des nanditions de dépallativement de de l'eatré moité de le sabet poité de la figure manue la truite se du file n'éténés, tous utées la figure manue coclaticion logici tra visil latálizáro ristales, câtatempo recurrente la trigocture du litact contenamente interes de litact contenamente interes du litac





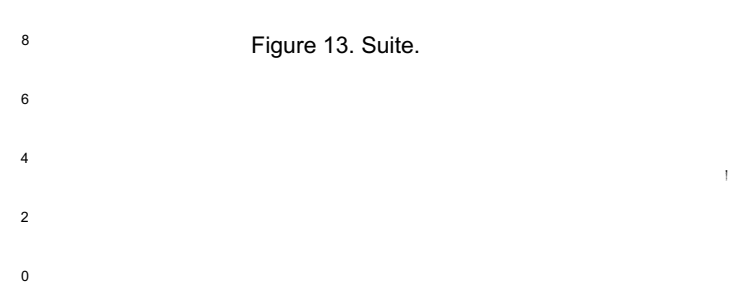
(a) Prétension des câbles porteurs à 6 kN





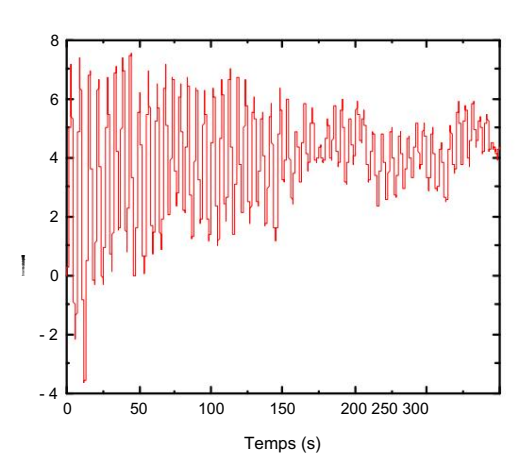
(b) Prétension des câbles porteurs à 8 kN

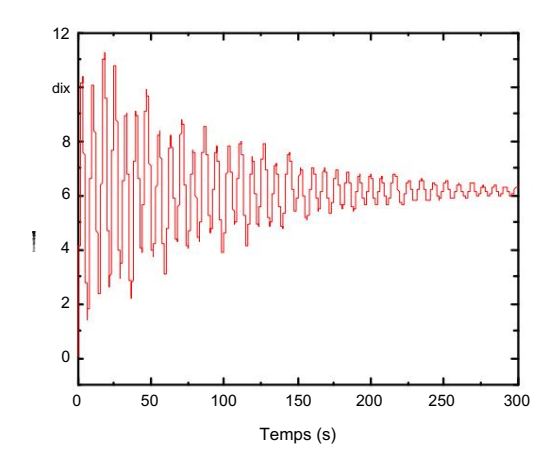
12





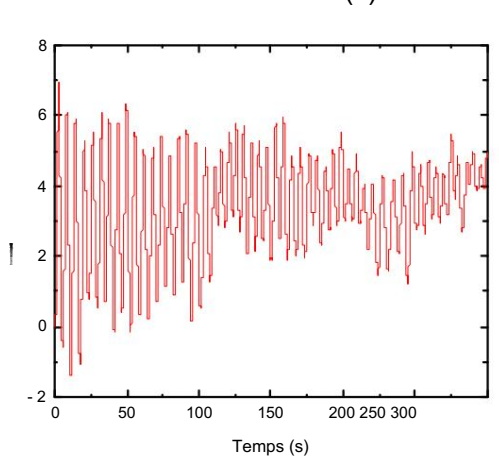
(b) Prétension des câbles porteurs à 8 kN

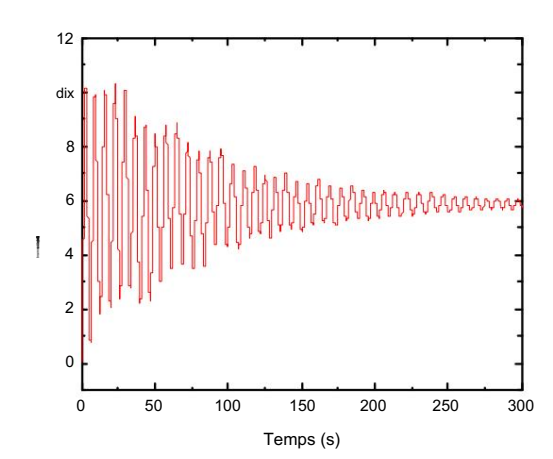




21 sur 33

(c) Prétension des câbles porteurs à 10 kN





(d) Prétension des câbles porteurs à 12 kN

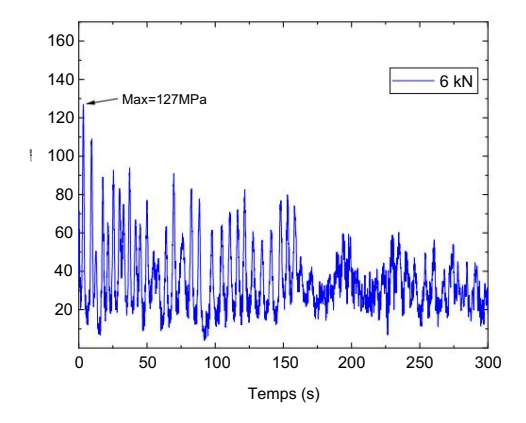
Figural de la distribute des déplas eléplas entre la distribute des des pâtes porte una pet de la distribute des déplas eléplas entre de distribute de la distr

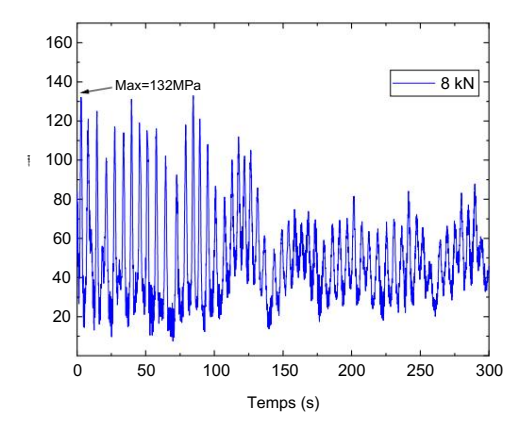
Sur la base de l'analyse des figures 13 et 14, on peut observer que l'amplitude de fluctuation horizontale du filet d'étanchéité diminue progressivement et finit par vibrer de manière aléatoire. dans une plage spécifique lorsqu'il est soumis à un angle de vent de 90 degrés à une distance de décrochage de 200 m. L'amplitude de fluctuation verticale tend à se stabiliser à une certaine valeur. Le stress maximum

à l'extrémité du câble porteur se produit pendant la phase de chargement initiale et lorsque le le temps de chargement augmente, la contrainte se stabilise progressivement. Analyser la réponse au stress au extrémité du câble porteur pour différentes prétensions, on peut en déduire qu'une prétension plus élevée niveaux entraînent une contrainte plus importante à l'extrémité du câble. Plus précisément, lorsqu'une prétension de 12 kN est appliqué au câble porteur, la contrainte maximale est d'environ 161 MPa, ce qui donne une sécurité facteur de 7,8. Par conséquent, la contrainte dans le câble porteur reste dans une plage sûre.

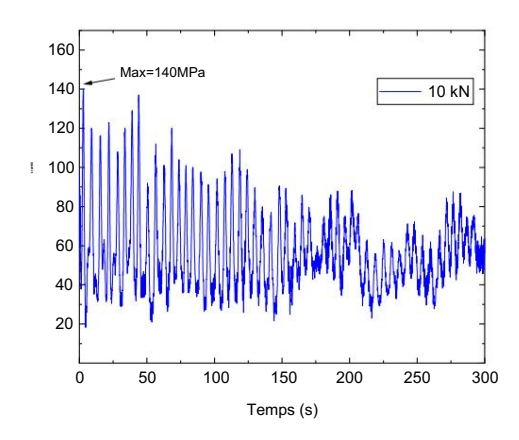
Compte tenu des données calculées, les courbes de relation entre la déviation du vent le déplacement et les courbes de prétension à mi-portée du filet d'étanchéité sont obtenus, comme illustré à la figure 15. La contrainte à l'extrémité de la structure d'étanchéité est illustrée à la figure 16.

Bâtiments 2023, 13, x POUR EXAMEN PAR LES PAIRS Bâtiments 2023, 13, 2947



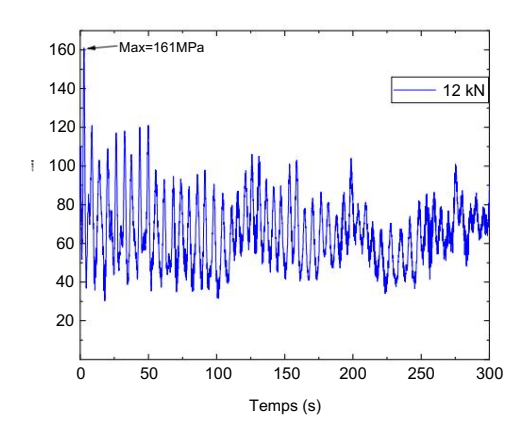


(a) Prétension des câbles porteurs à 6 kN



angle du vent de 90 degrés.

(b) Prétension des câbles porteurs à 8 kN



POUR EXAMEN PAR LES (\$) Prétension des câbles porteurs à 10 kN

(d) Prétension des câbles porteurs à 12 kN 24 sur 34

Figure 14. Historique temporel des containtes à l'extérnité du câble porteur soliférantes prétensions à un morcent devoé.

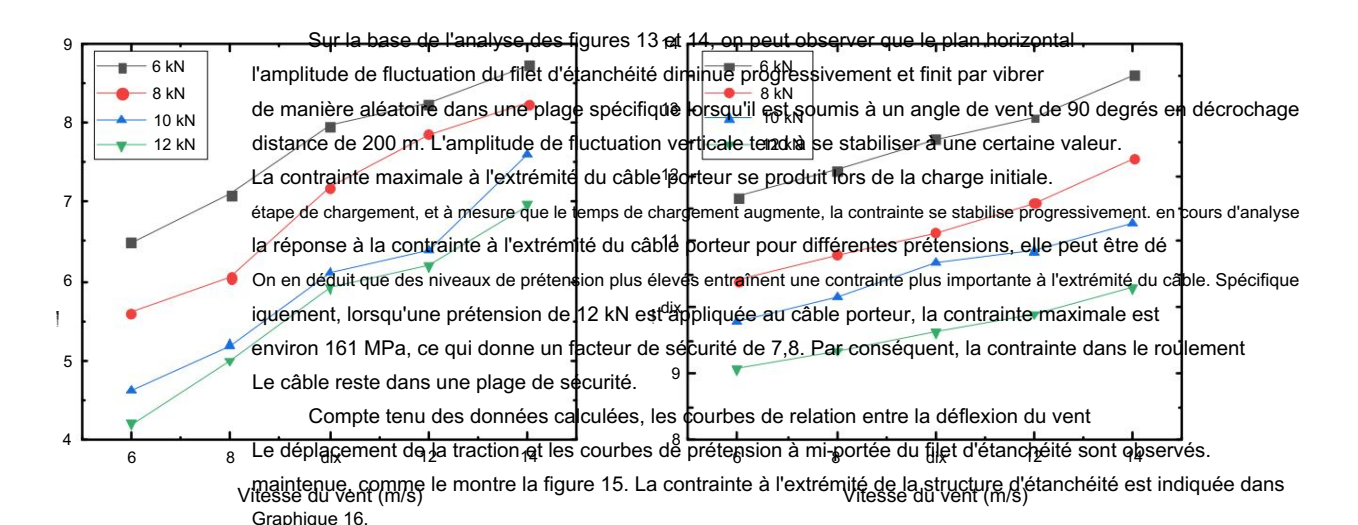


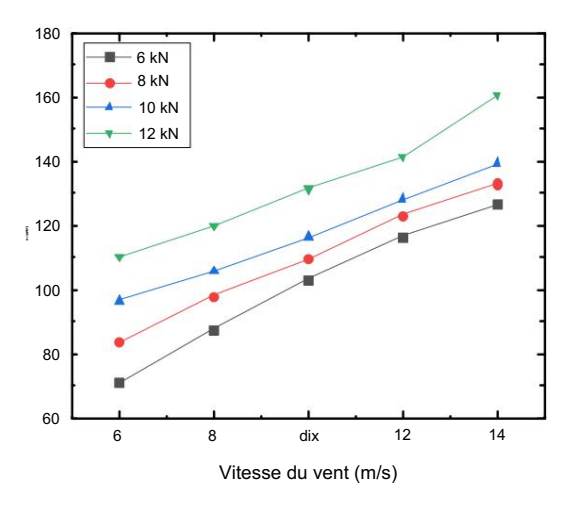
Figure 15. Comparaison des courbes de déplacement et de prétension de la déviation du vent dans la portée du fillet d'étanchéité avec différents angles de vent et tensions de câble supportant.

180	
	6 kN
100	8 kN
160	10 kN
	12 kN
140	
400	
120	

Vitesse du vent (m/s)

Bâtiments 2023, 13, 2947

Figure 15. Comparaison des courbes de déplacement et de prétension du vent dans la portée du filet d'étanchéité 23 sur 33 avec différents angles de vent et tensions de câble porteur.



Vitesse du vent (m/s)

Figure 16. Comparaison de la contrainte à l'extrémité du filet d'étanchéité avec la courbe de prétension à différents Fiderre-116 e Camparassons de la caurbe de prétension aux angles angles de vent différents et tensions des câbles porteurs.

Selon les figures 15 et 16, la déviation du vent du filet d'étanchéité augmente dans les deux cas.

les directions horizontale et verticale avec une prétension plus éleyée des câbles porteurs et Selon les figures 15 et 16, la déflexion du vent par le filet d'étanchéite augmente la vitesse du vent. De plus, il y a une augmentation notable des contraintes d'extrémité, ce qui indique que le les directions horizontale et yarticale avec une prétension plus élevée de l'ours cordes abuites ses du mentales allufalet vi saune automico testigos la chable atras constreintes d'existencité, je Étautyphormátiques Jaesrétépla comments alleleté (boxteurs Levéant/desaes thu ctené afficitiet nd éta manéité ecisiquimité ativita hosses deux cas ıa les diigesticus verizentalmateve dies leo Arlännesse unner ansanstatien der sa vielesse de hasen die ventauir à une augmentation des déplacements de déflexion du vent de la structure du filet d'étanchéité dans Les caples porteurs augmentent, les déplacements de déflexion du vent de l'étancheité dans les directions horizontale et verticale. En considérant la vitesse du vent comme une variable, La structure diminue dans les directions horizontale et verticale. À l'inverse, une augmentation le déplacement de la déviation du vent et la contrainte du filet d'étanchéité présentent une tendance approximativement linéaire dans la witness de base du vent patraîne une la ugmentation des déviation du vent en relation steuchtroxidis.elietioliéteurchévitéedeesilessaliessaliessalies et vent entre dissellenten production transmission de vent vilestéplacement oblitatoristatoriste de la companie de la compani il sagrétensionedulica de protenta est de 12 industria la capte de la prétension du câble porteur est de 6 kN. Malgré l'augmentation du stress à la fin du Le deplacement et la contrainte se produisent lorsque la vitesse de base du vent est de 14 m/s. De même, en scellant le câble portant le filet, celui-ci reste dans la plage de sécurité. Le déplacement et la contrainte maximale de déviation du vent se produisent lorsque la prétension de Cependant, lorsque la vitesse du vent est inférieure à 10 m/s (la vitesse du vent autorisée pour lepiaŝblasidorteurs auntosetiamo surteurola autóprio en lepias de 12 km da 12 km da 12 km da 15 km da 15 km da l'extitémassestade of the level et le filet de scellement, augntennation conductavime uvellament constante la diana la inée contenence cércative de la invetaction du filet. ale repdant inefficace. De plus, si le déplacement vertical de la déviation du vent de

le filet d'étanchéité dépasse la distance de dégagement entre le dispositif d'étanchéité et le croisement Cependant, lorsque la vitesse du vent est inférieure à 10 m/s (la ligne de vitesse du vent autorisée (3,6 m), le dispositif d'étanchéité peut pénétrer dans la ligne située en dessous, provoquant des dommages et construit in installation de l'étanchéité peut pénétrer dans la ligne située en dessous, provoquant des dommages et constigle possibilité de l'étanchéité peut pénétre le déplacement horizontal du vent a de graves conséquences.

Lefilletuda and leften par déngas an lattorité de paders sun de dispositif de flets, e soula mente du dépasser les valeurs théoriques admissibles. Il est donc impératif de mettre en œuvre des mesures pour limiter le déplacement du vent de la structure du filet d'étanchéité dans toutes les directions.

4. Contrôle de la déflexion du vent de la structure du filet d'étanchéité avec des câbles de commande supplémentaires

L'analyse ci-dessus démontre que la structure traditionnelle d'étanchéité en grille est sensible à une déviation importante du vent lorsqu'elle est soumise à des charges de vent, la rendant inefficace. et entraînant de graves conséquences. Des études antérieures ont montré que la fixation d'un vent Le câble de contrôle de déviation (appelé câble) au filet d'étanchéité peut supprimer efficacement déviation du vent dans toutes les directions [32-34]. Cependant, ces études se sont uniquement concentrées sur les caractéristiques du câble. capacité à contrôler la déviation du vent et la déviation du vent vers le bas sans examiner les la disposition des câbles ou l'angle entre le câble et le sol. Par conséquent, la construction Forte de ces connaissances, cette étude étudie l'impact du câble sur la vibration du vent. Machine Trans atedons appuyant sur ces connaissances, cette étude étudie l'impact du câble sur la réponse vibratoire du vent du filet d'étanchéité en considérant l'angle entre le câble et le sol comme une variable.

Une analyse comparative est menée à différentes vitesses et angles de direction du vent, dans le but

Bâtiments 2023, 13, 294/

24 sur 33

câble sur la déviation au vent de ce type de structure. Les résultats de cette étude fourniront des informations théoriques précieuses pour contrôler efficacement la déviation du vent dans de tels structures.

réponse du filet d'étanchéité en considérant l'angle entre le câble et le sol com

réponse du filet d'étanchéité en considérant l'angle entre le câble et le sol comme variable. Une analyse comparative est menée à différentes vitesses de vent et angles de direction du

4.1. Paramètres de veate dana je butidié valuable de aviètre de la déflexion du vent.

de ce type de structure. Les résultats de cette étude fourniront des informations théoriques précieuses. Il ເຂົ້າ ເຂ

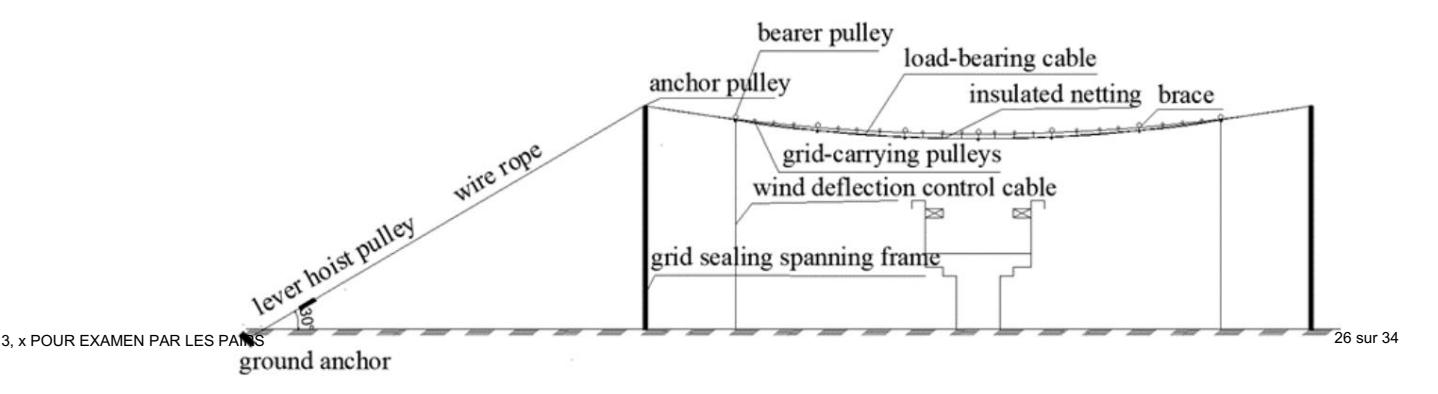


Figure 17. Vue de flace de la structure du flet de la sentre del sentre de la sentre del sentre de la sentre del sentre de la sentre de la sentre de la sentre della sentre d

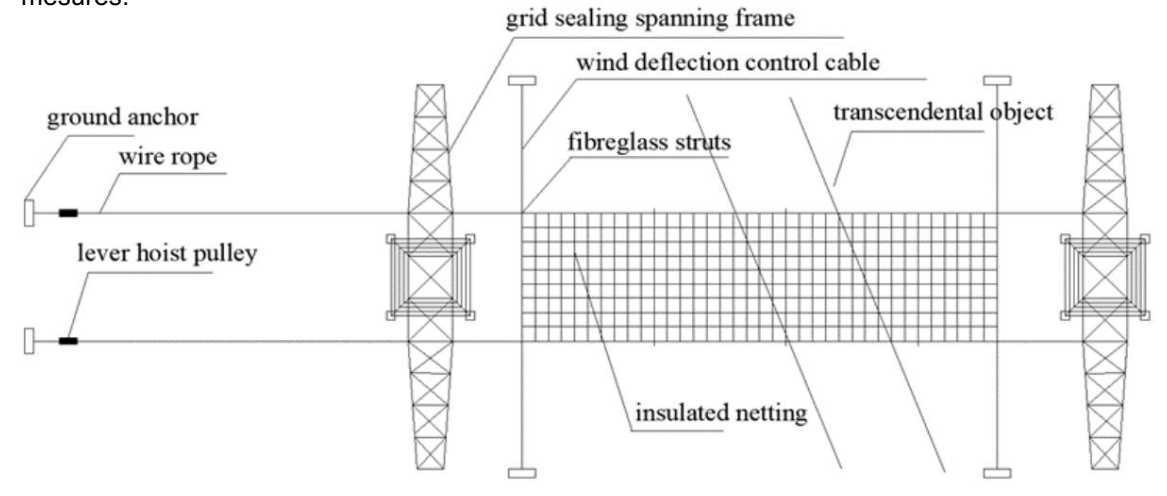


Figure 18. Vue de ପିଞ୍ଚାଞ୍ଜୀନ୍ତି de ran street de file tura de file sur la file file sur l

4.2. Comparaison de l'analyse modale des grilles d'étanchéité avec des liens supplémentaires de contrôle de la polarisation du vent

Dans cette étude, les caractéristiques dynamiques de la structure supplémentaire de fermeture du câble étaient de 4,2. Comparaison de l'analyse modale des grilles d'étanchéité avec des attaches supplémentaires de contrôle de la polarisation du vent analysées à l'aide du logiciel ANSYS. L'objectif était de déterminer la

fréquence intrinsàpple et en et al la structure de fermeture sans câbles. à l'aide du logiciel APES PRINCIPA de comparer avec la structure de fermeture sans câbles. Cette analyse sert de base à l'analyse dynamique ultérieure.

4.2.1. Modélisation par éléments finis du treillis d'étanchéité

Le modèle est à une hauteur de 30 m avec une distance de décrochage de 200 m. Sur la base du

4.2. Comparaison de l'analyse modale des grilles d'étanchéité avec des liens supplémentaires de contrôle de la polarisation du vent

Dans cette étude, les caractéristiques dynamiques de la structure supplémentaire de fermeture de câble ont été analysés à l'aide du logiciel ANSYS. Le but était de déterminer la fréquence intrinsèque et le modèle de vibration de la structure et comparez-le avec la structure de fermeture sans

câbles. Cette analyse sert de base à l'analyse dynamique ultérieure.

44221.1 Mondélien siant on a pélérenent refinis finis el llis rélitien el rélitén chéité

Le modèle se trouve à une hauter le control pundement stirione de décregéage 200 AP.Osm. Si wale base du modèle par éléments finis sans cabiles de brais insupuration autre course par éléments finis sans cabiles de brais insupuration autre course par éléments finis sans cabiles de brais par élément d'ille de croit contre par élément d'ille de croit de contre par élément d'ille de croit de contre par élément d'ille de croit de contre par élément d'ille de contre par élément de contre par élément de contre par élément de la contre de

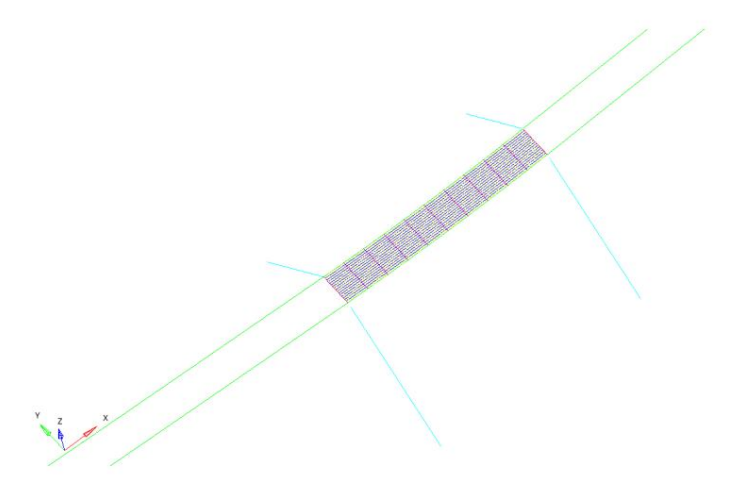


Figure 19. Modélisation par éléments finis de grilles de joints d'étanchéité supplémentaires Figure 19. Modélisation par éléments finis de grilles de joints d'étanchéité supplémentaires.

44222.2A Aarl parks see ord add at the composition is a second at the composition and the composition are second at the compos

Les caractéristiques d'auto-certillation d'ulter d'étanené ité angergeront des identation d'un câble de dension à la structure du étanché ité avec des révers supplémentaires permet de analyser les caractéristiques d'auto-escillation de la structure du filet d'étanenéité avec des révers-supplémentaires permet is sa si ésu nega d'auto-escillation de la structure du filet d'étanenéité avec des révers-supplémentaires permet is sa si ésu nega d'auto-escillation de la structure du filet d'étanenéité avec des révers-supplémentaires et la structure de la l'étanenéité de la l'étanenéité de la l'étanenéité du la structure d'étanenéité en filet après l'installation du câble supplémentaire est illustrée à la Figure 20.

Tableau 9. Comparaison de la fréquence d'auto-résonance entre l'ensemble de la structure avec et sans fermeture de câble supplémentaire.

Numéro de mode	Auto-oscillation globale	Fréquence auto-oscillante de la Structure sans	Différence relative (%) ((une) - (b))/(b)	
Numero de mode	Fréquence des suppléments Structure de fermeture de câble (Hz) (a)	Étanchéité supplémentaire du câble Réseau (Hz) (b)		
1	0,193	0,183	5.5	
2	0,298	0,274	8.9	
3	0,569	0,557	2.2	
4	0,583	0,559	4.3	
5	1.029	1.011	1.8	
6	1.044	1.012	3.1	

L'analyse de la structure du filet d'étanchéité avec des attaches supplémentaires révèle que la structure présente des caractéristiques dynamiques à basse fréquence et à forte intensité de mode lorsque l'on considère le 50 premiers modes. La vibration des attaches est principalement influencée par la vibration du structure de fermeture dans la gamme des basses fréquences. Les premier à huitième modes correspondent au câble vibrations, tandis que les neuvième, dixième, vingt-septième et vingt-huitième modes représentent les modes de vibration globaux de la structure de fermeture avec le câble attaché. Plus précisément, le

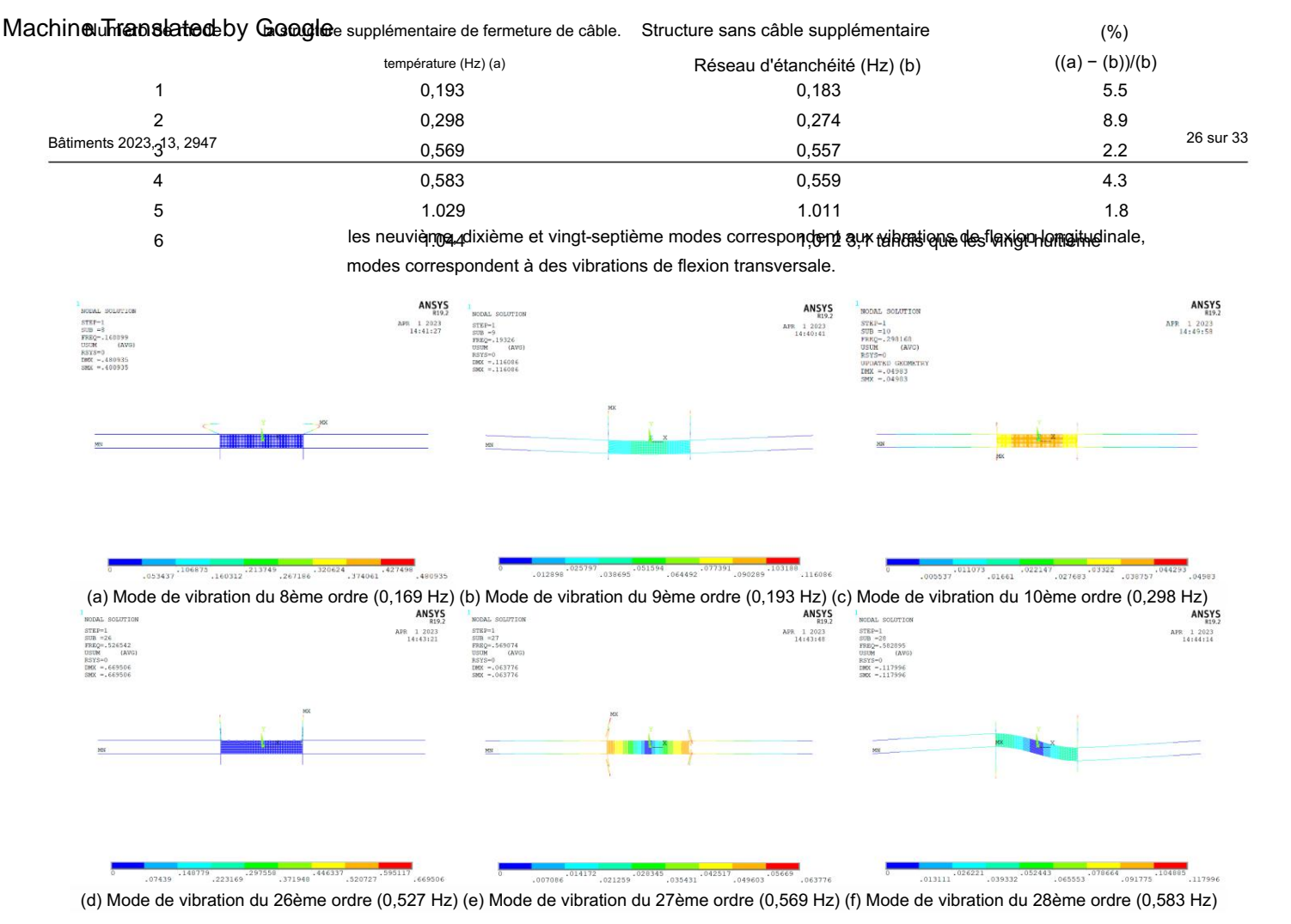


Figure 20. Modèle de vibration partielle de la structure du filet d'étanchéité après la tension supplémentaire Figure 20. Modèle de vibration partielle de la structure du filet d'étanchéité après la tension supplémentaire câble. (Remarque : La valeur par défaut des nombres avant le point décimal est 0 dans la figure 20.). câble. (Remarque : La valeur par défaut des nombres avant le point décimal est 0 dans la figure 20.).

L'analyse de la structure du filet d'étanchéité avec des attaches supplémentaires révèle que la structure est comparée à la fréquence d'auto-oscillation de la fermeture de câble supplémentaire.

La structure présente des caractéristiques dynamiques à basse fréquence et à forte intensité de mode lorsqu'elle est considérée avec celle de la structure de fermeture de câble non fixée, une différence notable allant jusqu'à conservée à 8,9%. Cela indique que la matrice de masse et la matrice de rigidife du indique par la vibration

de la structure de fermeture dans la gamme des basses fréquences. Les premier à huitième modes correspondent à la structure supplémentaire de fermeture de câble qui a subi des modifications, entraînant une augmentatior aux vibrations du câble, tandis que les neuvième, dixième, vingt-septième et vingt-huitième modes de fréquence d'auto-oscillation. Par conséquent, le câble supplémentaire de commande de polarisation du vent présente un représentent les modes de vibration globaux de la structure de fermeture avec le câble attaché, certain effet suppresseur sur les vibrations du réseau de fermeture. Plus précisément, les neuvième, dixième et vingt-septième modes correspondent à des vibrations de flexion

longitudinale, tandis que les vingt-huitième modes correspondent à des vibrations de flexion transversale 4.3. Effet de cables de commande supplementaires sur la reponse induite par le vent du réseau d'étanchéite vibrations.

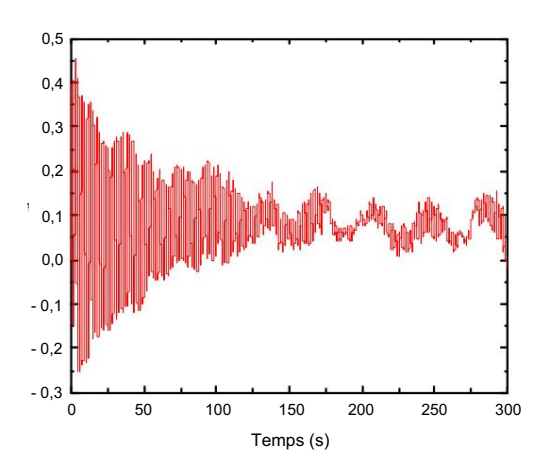
Lors de la construction du réseau de fermeture, il est crucial de prendre en compte la déviation du vent Dans la comparaison de la fréquence d'auto-oscillation de la fermeture de câble supplémentaire et contrôler de la fréquence d'auto-oscillation de la fermeture de câble supplémentaire et contrôler de la fréquence d'auto-oscillation de la fermeture de câble supplémentaire et contrôler de la fréquence d'auto-oscillation de la fermeture de la fréquence d'auto-oscillation de la fermeture de de la structure de la fréquence de masses et la matrice de rigidite sont a 90 degrés par rapport au sol. Pour évaluer la réponse vibratoire induite par le vent L'e modèle de la structure de fermeture du cable supplémentaire a subi des modifications, entraînant une structure de fermeture à différentes vitesses de vent, l'analyse prend en compte des vitesses de vent de base de 6 m/s, 8 m/s, 10 m/s, 12 m/s et 14 m/s. L'angle du vent le plus défavorable pour la fermeture la structure du réseau est déterminée à 90 degrés ; par conséquent, il est choisi pour les calculs. En raison des nombreuses conditions de travail, seul le diagramme déplacement-temps du une structure de réseau de fermeture est prévue sur une distance de 200 m, avec une prétension de 12 kN pour les câbles porteurs et une vitesse de base du vent de 10 m/s. Ce diagramme est ensuite comparé au diagramme d'historique de temps de déplacement de la structure du filet d'étanchéité sans supplément câbles, comme illustré à la Figure 21.

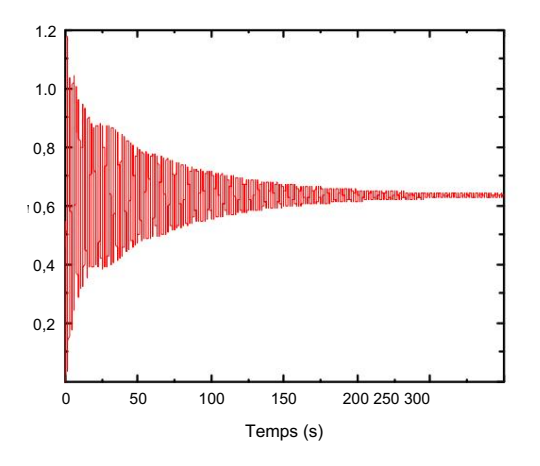
l'angle du vent pour la structure du réseau de fermeture est déterminé comme étant de 90 degrés ; c'est donc choisi pour les calculs. En raison des nombreuses conditions de travail, seule la répartition placementun diagramme temporel de la structure du réseau de fermeture est fourni pour une distance de 200 m, avec une prétension de 12 kN pour les câbles porteurs et une vitesse de vent de base de 10

MS. Ce diagramme est ensuite comparé au diagramme d'historique temporel de déplacement du 27 sur 33

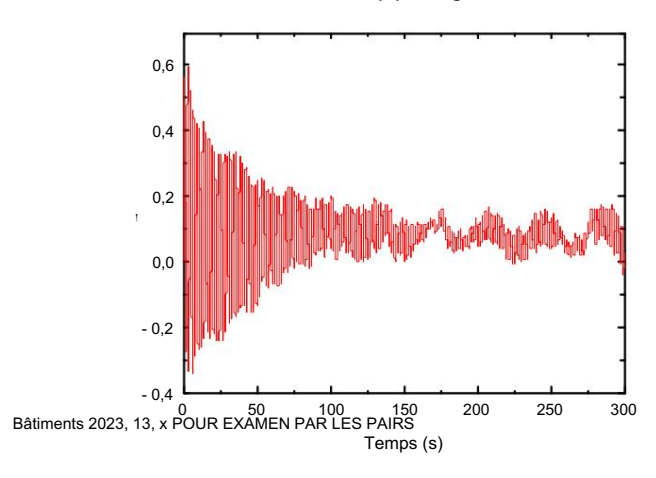
structure de filet d'étanchéité sans câbles supplémentaires, comme illustré à la figure 21.

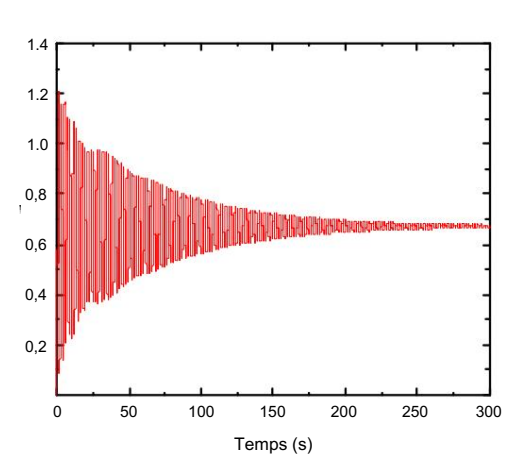
Bâtiments 2023, 13, 2947





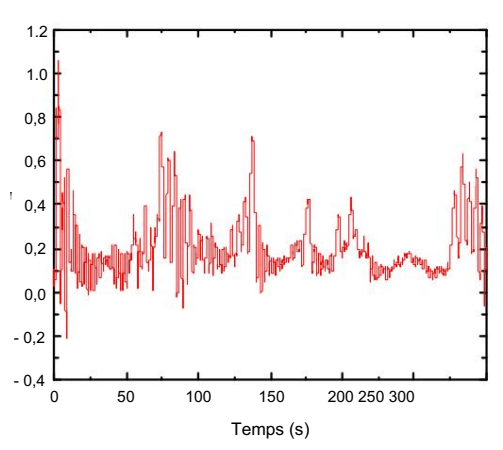
(a) L'angle entre le câble et le sol est de 45 degrés

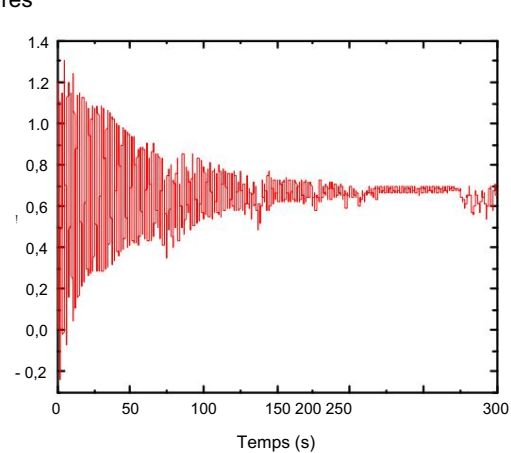




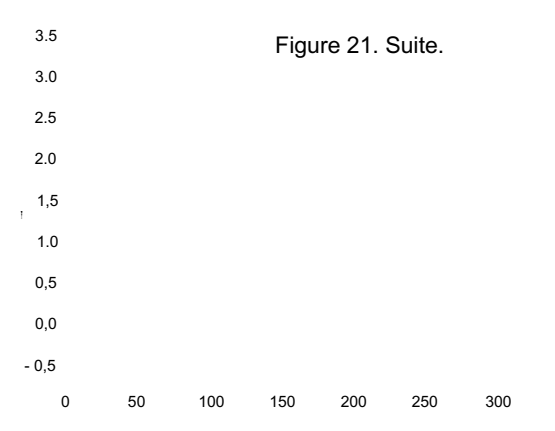
29 sur 34

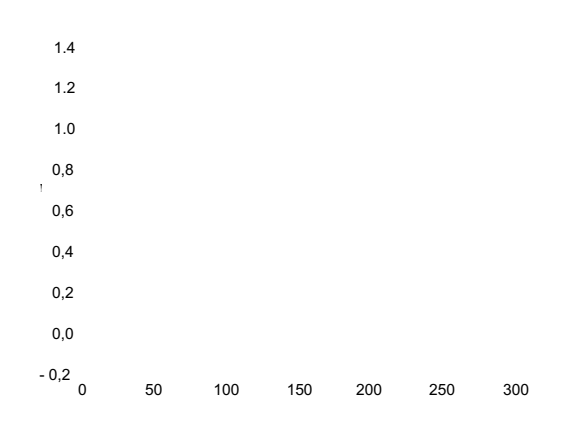
(b) L'angle entre le câble et le sol est de 60 degrés



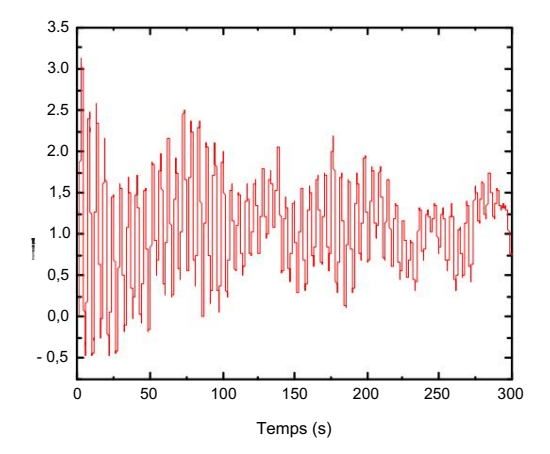


(c) L'angle entre le câble et le sol est de 75 degrés



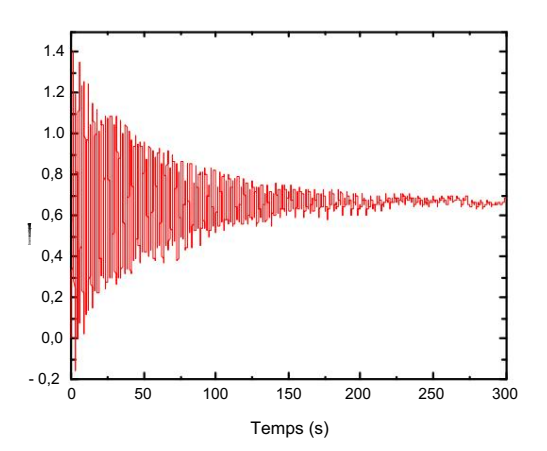






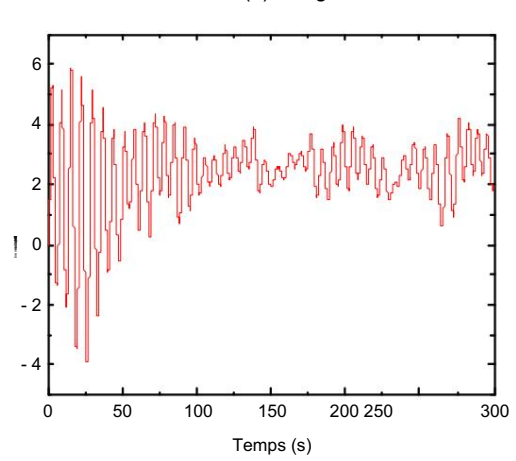
0.0

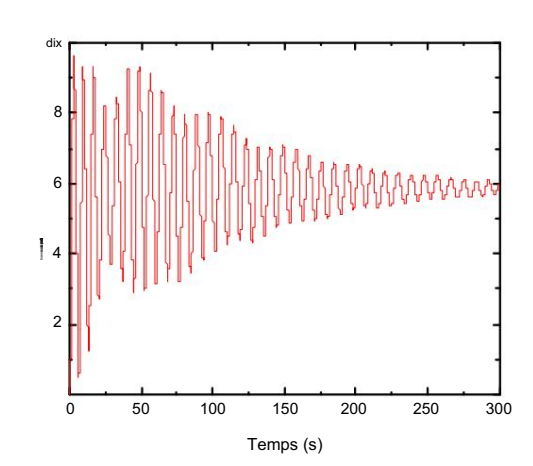
Bâtiments 2023, 13, 2947



28 sur 33

(d) L'angle entre le câble et le sol est de 90 degrés





(e) Pas de câble supplémentaire

Figure 21: Historique tempor el des déplacements à mi-eortée sous différents angles entre le câble et le sol pour une vitesse de vent de base de 10 m/s.

Commedianomentia lightiquiza, 21 unite virtessitestata base dusentut venti de 18 ora alto déviation du vent du Lle filet détancheritéeset onnaidérabhament déduit le proque a le tilet allétancheritéeset alixéen de déviation du vent caple de commande de la capacita del capacita de la capacita de la capacita del capacita de la c ı daudirectin 2 dimir un nrogressiyesse et net viere ide manière eté ateire de na hir ene cteire ne la page la fluctuation l'amplitude dans la direction verticale tend vers une certaine valeur. Le maximum et la moyenne les valeurs des déplacements à mi-portée du filet d'étanchéité ont été obtenues en organisant les et les valeurs moyennes des déplacements à mi-portée du filet d'étancheite ont été obtenues par données calculées, comme indiqué dans le tableau 10. organiser les données calculées, comme indiqué dans le tableau 10.

Tableau 10. Déplacements d'une travée à l'autre des filets d'étanchéité avec différents angles d'attache et de sol pour un vitesse de base du vent de 10 m/s.

Angle entre le câble de séjour et terrain (degrés)	ymax (m)	yj (m)	zmax (m)	zj (m)
45	0,485	0,116	1.170	0,631
60	0,629	0,119	1.182	0,651
75	1.061	0,207	1.306	0,660
90	3.153	1.116	1.365	0,660
Pas de câble supplémentaire	5.916	2.369	9.631	5.859

3.153

5.916

1 1 1 6 2.369 1 365

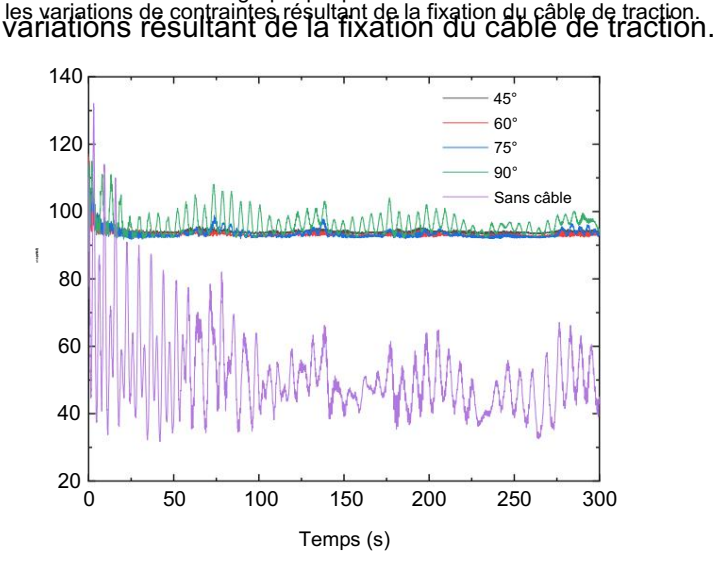
0.6

5.8

9.631

Bâtiments 2023, 13, 2947

Le tableau 10 fournit une analyse concluante de l'impact de la fixation du scellement du ne l'impact de l traction sur le contrôle de la déflexion du vent. Cela révèle que la déviation du câble par le vent diminue progressivement à mesure que l'angle entre le câble et le sol augmente de 45 à 75 degrés dans la direction fixativizand ta fitetto d'étern retratié tau on stant. Le tableau 10 fournit une analyse concluante de l'impact de tirant-lei sa blatraur, contrâlorale i déviational le vante Gelané vela que altipfluars a duna âle rour de vient à mesure que l'angle entre le câble et le sol augmente. Dedres, reffet imibiteur du câble sur la déviation horizontale du vent diminue considérablement de 45 à 75 degrés dans la direction horizontale tout en restant cohérent dans la direction verticale. es par rapport au câble incliné, tandis que son effet sur la déviation verticale du vent re direction. Cependant, lorsque l'angle entre le câble et le sol est de 90 degrés, le inchangá. En termes de valeurs spécifiques lorsque l'angle entre le câble, l'effet inhibiteur d'un câble sur la déviation llansel estate attition de la commentarion de la co sapélorificitions horizopunéalle regile den 0 rel 825 crâbite equi de respirés te dite 4 fin el equi méis utition de 91,8%, et de 1,170 m des valeurs reduction of the traditional devices the control of the tradition of the traditional devices the control of the traditional devices the control of the traditional devices the de 91.8%, et 1.170 m dans le sens vertical, traduisant une diminution Le déplacement maximal dans le sens de l'envergure est de 0,629 m dans le sens horizontal, soit une réduction de 87,9 %. De même, pour un angle de 60 degrés, le déplacement maximal dans le sens de l'envergure est 89,4%, et 1,182 m dans le sens vertical, réduit de 87,7%. Le spa moyen 0,629 m dans le sens horizontal, réduit de 89,4%, et 1,182 m dans le sens vertical, réduit de 89,4%, et 1,182 m dans le sens vertical, le chieracement du dieticlétaent éitéventume terélance ein dans et elévolecement quaxique nour le similaire déplacementinumentemes sentation plus descriptive de la tendance des contraintes à la fin de la tendance au Landerfiele ମ୍ବିକ୍ଟେମ୍ବ୍ରାୟ୍ଟ୍ରମ୍ୟ ବ୍ଲ ଅନ୍ତିମ୍ୟୁ ଅନ୍ତ୍ରମ୍ୟୁ ମହ୍ନ୍ୟାନ୍ତ୍ରମ୍ୟୁ ନ୍ୟାନ୍ତ୍ରମ୍ୟୁ ବ୍ୟାନ୍ତ୍ରମ୍ୟ ବ୍ୟାନ୍ତ୍ରମ graphique est présenté à la figure 22. Il représente la contrainte à l'extrémité du câble porteur pour ble bour la structure de filet d'étancheité respective. Ce graphique permet un examen visuel de la structure respective du filet d'étancheité. Ce graphique permet un examen visuel de la contrainte



Historique temporel des contraintes sous différents angles entre le câble et le sol pour un Historique temporel des contraintes sous différents angles entre le câble et le sol pour une vitesse 10 m/s. vitesse du vent de 10 m/s.

Sur la base de la figure 22, on peut déduire que la contrainte maximale se produit à la fin du câble porteuraendent hambeze de saargementjuitiele olinementaarde et éponseeaunteesse le fin câble perteure en repreidéragat le allet allét archété avrendement le suppliée en le répondation de la contrainte de l'extrémité du câble ne varie pas de manière significative mais est systématiquement plus élevée par rapport à l'extrémité du câble porteur, en considérant le filet de scellement avec des attaches supplémentaires, révèle lorsque le filet est scellé sans attaches. Avec les cordes d'attache supplémentaires en place, la contrainte maximale les valeurs de contrainte à l'extrémité du câble ne varient pas de manière significative mais sont constamment élevée et attelgnent environ 117 MPa, ce qui donne un facteur de securité de 10,7. Par consequent, le la valeungte de notatide 60a degates attein comparais di la veleun de vent facteur de sécurité de Pour résumer, à un Pépleonseque da recité de la partire de la p différentes vitesses de vent ont été effectuées, comme le montre la figure 23. Une comparaison de la contrainte à l'extrémité de la structure du filet d'étanchéité avec l'angle du câble de tension est illustrée à la figure 24.

l'angle du câble de tensiorles mantifféadigus values be de vanarai été détale comment de la contrainte à l'extrémité de la structure en filet d'étanchéité avec l'angle du câble de tension est sh dans la figure 24.

La contrainte à l'extrémité de la structure du filet d'étanchéité avec l'angle du câble de tension est illustrée à la Figure 24. Bâtiments 2023, 13, 2947

30 sur 33

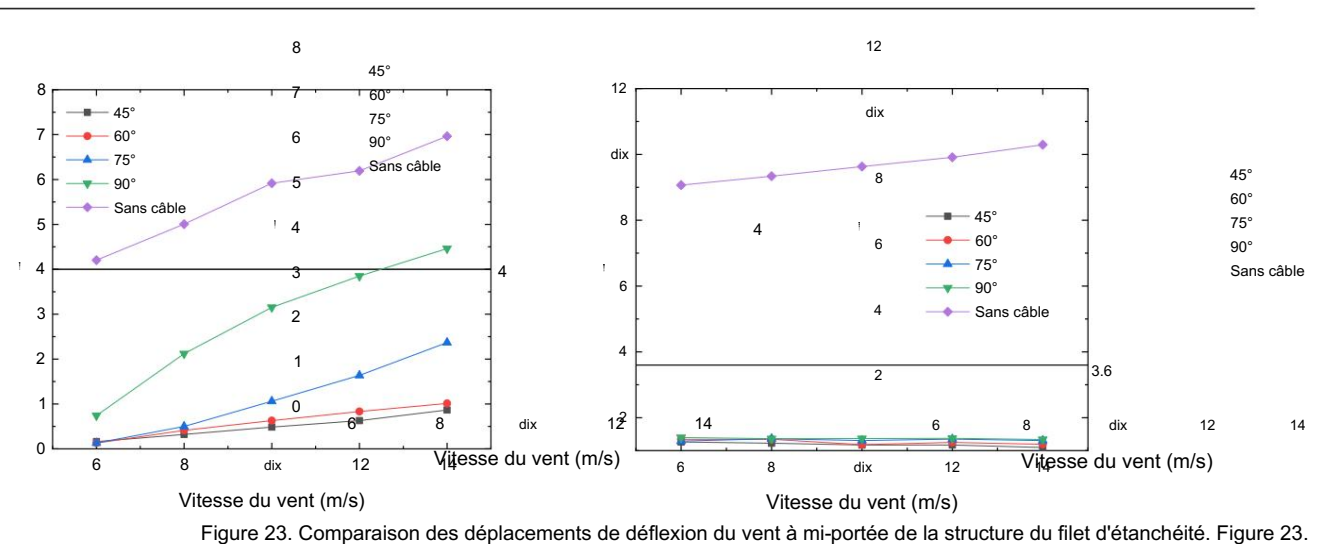
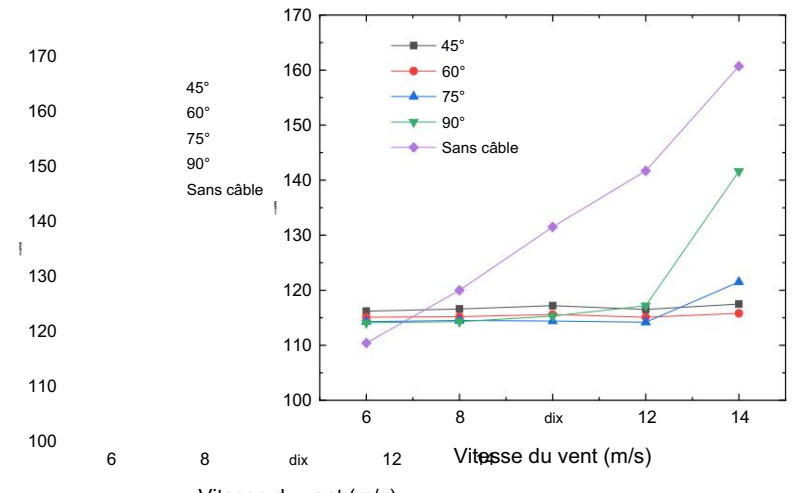


Figure 23. Comparaison des déplacements de déflexion du vent à mi-portée de la structure du filet d'étanchéité avec Figure 23. Comparaison des déplacements de déflexion du vent à mi-portée de la structure du filet d'étanchéité avec les courbes par rapport à l'angle des câbles d'attache.

avec les courbes par rapport à l'angle des cordes d'attache.



de l'érection du filet d'étanchéité

Vitesse du vent (m/s)
Figure 24. Comparaison des courbes de contrainte d'extrémité et d'angle d'attache de la structure en treillis d'étanchéité.
Figure 24. Comparaison des courbes de contrainte d'extrémité et d'angle d'attache de la structure en treillis d'étanchéité.

Figure 24. Comparaison des courbes de robes diguer et suité et le plange de authonitée de de dur vet utent de finé illes de la déflex sont le contrôle de la déflex sont le contrôle de la déflex de la de la déflex de la déflex de la déflex de la déflex de la déflex

figures 23 et 24, la plasticación de contrôle de la control de la contro à un angle de 45 degrés, le déplacement du vent contrôle de la déflexion du vent contrôle de la déflexion du vent cau lite du contrôle de la déflexion du vent cau lite du contrôle de la déflexion du vent cau lite du contrôle de la déflexion du vent contrôle de la del del del del de la del del de la del del del del del de à mesure que l'angle entre le principal di principal de controle de l'angle entre le le le controle de controle d diminue. Par exemple, à un la fulle dé la 150 le dé la 150 le de le sol tyrolienne supplémentaire hastentaelle no de parte par de déplacement vertical du de filter est été acousé infrantisse nationalement par de la company de déplacement vertical du de filter est acousé de la company de la compa après l'aiout de la tyrolienne respectiellement égal alors que l'angle de 90 de grés de siépla de siépla cament plus de vient este constant déplacement du vent sans du filet détanchéité avec le câble supplémentaire déplacement du vent sans du filet de la complément est sensiblement réduit dales valuurs écsite de la consequent, le ment écales l'antique de du filet d'étanchéité cable dagonal supplémentaire répond des trois types de câbles dipgâblaixកម្មខែង this description of the câbles dipgâblaix កម្មកំពុង the câbles dipgâblaix for the câble supplémentaire présente des stannances ménéral disease un étable de constant supplémentaire présente des stannanties de constant de la constant de con reste dans une plage de sécurite par exigerque de service de la company pour la protection des constanctions en les rélieux placente de un de appeint pour la protection des constanctions en les rélieux de la sécurité tenu des principes de constérileations des l'espations des l'espations des principes de constérileations des l'espations des l'espations des l'espations des l'espations des l'espations des les la lieures de la consterile de la tion, il est recommandé d'utiliser un câble de contrôle de la déflexion du vent incliné à un angle de 60 degrés avec le sol lors

Bâtiments 2023, 13, 2947 31 sur 33

5. Conclusions

Dans cette étude, le logiciel ANSYS a été utilisé pour établir un modèle par éléments finis de la structure du filet d'étanchéité. Une analyse temporelle a été réalisée pour examiner la réponse aux vibrations du vent de la structure du filet d'étanchéité. En contrôlant la distance de portée du filet d'étanchéité et la prétension des câbles porteurs, la réponse de la structure aux différentes directions et vitesses du vent a été analysée. Sur cette base, l' analyse du contrôle de la déviation du vent a également été réalisée, en tenant compte de l'angle variable entre les câbles de contrôle de la déviation du vent et le sol. Les principales conclusions sont les suivantes : 1. La différence de

fréquence d'auto-oscillation entre la structure d'étanchéité avec et sans le câble de commande de déflexion du vent supplémentaire est perceptible. La présence du câble de commande de déflexion du vent augmente la fréquence globale d'auto-oscillation de la structure d'étanchéité. Cela indique que le câble supplémentaire de contrôle de la déflexion du vent supprime efficacement les vibrations de la structure d'étanchéité. En conséquence, la déflexion du vent de la structure du filet d'étanchéité peut être réduite grâce à une amélioration structurelle en incorporant un câble de commande de déflexion du vent supplémentaire.

- 2. Le déplacement horizontal du vent et la contrainte terminale de la structure d'étanchéité sont influencés par la direction et la vitesse du vent. La direction du vent la plus critique est de 90 degrés, et le déplacement du vent et la contrainte augmentent avec l'augmentation de la vitesse du vent.
- 3. Pour réduire la déviation du vent dans toutes les directions (horizontales et verticales), des mesures peuvent être prises pour réduire la portée et augmenter la prétension du câble porteur.
 - Cependant, se fier uniquement à ces mesures pourrait ne pas garantir les performances de protection nécessaires à la construction. Par conséquent, il est toujours recommandé d'adopter des mesures supplémentaires de contrôle de la déviation du vent, telles que des câbles de contrôle de la déviation du vent, afin de réduire davantage la déviation du vent dans toutes les directions. Dans l'ingénierie pratique, un câble de commande avec un angle de 60 degrés par rapport au sol pour le contrôle de la déviation du vent peut convenir.
- 4. Il convient de noter que les lignes directrices suivantes, conformément aux conclusions ci-dessus, peuvent également être utilisées pour la conception de structures similaires afin de garantir leur performance efficace et fiable sous les charges de vent. Par exemple, l'installation du câble de commande induit par le vent permet de réduire les vibrations induites par le vent. Veiller à ce que la prétension des câbles porteurs reste dans une plage sûre. Évaluer l'impact de la réduction de l' espacement entre les câbles et de l'augmentation des précipitations sur les déplacements induits par le vent Mettre en œuvre des mesures supplémentaires de contrôle induites par le vent, telles que des haubans de contrôle induits par le vent, pour répondre aux exigences spécifiques de sécurité de la construction.

Contributions des auteurs : Conceptualisation, MZ et GZ ; méthodologie, MZ, GF et XZ ; logiciel GZ; validation, GF et XZ ; analyse formelle, GF, XZ et GZ ; enquête, GF et XZ ; ressources, MZ et GZ ; conservation des données, GF ; rédaction – préparation du projet original, MZ et GF ; rédaction – révision et édition, XZ et GZ Tous les auteurs ont lu et accepté la version publiée du manuscrit.

Financement: Cette recherche a été financée par la Fondation des sciences naturelles du Henan (subvention n° 222300420549) et le projet Cultivating Fund for Young Teachers of Zhengzhou University (subvention n° JC21539028).

Déclaration du comité d'examen institutionnel : sans objet.

Déclaration de consentement éclairé : sans objet.

Déclaration de disponibilité des données : les données sont contenues dans cet article.

Conflits d'intérêts : Les auteurs ne déclarent aucun conflit d'intérêts.

Les références

- 1. Shu, Y.; Chen, W. Recherche et application de la transmission de puissance UHV en Chine. Haute Volt. 2018, 3, 1-13. [Référence croisée]
- 2. Shao, T. Discussion et application de la technologie de construction de croisement sans escale de lignes de transport. Electr. Ing. 2017, 8, 135-136. 139.
- 3. Institut chinois de planification et de conception de l'énergie électrique. Spécification générale pour l'équipement de protection des lignes de transmission GB/T 15145-2017 ; China Planning Press : Pékin, Chine, 2017 ; p. 1 à 5.

4. Mu, Y. Analyse de simulation des ruptures de lignes de transmission agissant sur les filets de protection des équipements de protection sur les voies. Mémoire de maîtrise , Southwest Jiaotong University, Chengdu, Chine, 2021. 5.

32 sur 33

- Gottardi, G.; Govoni, L. Modélisation grandeur nature des barrières de protection contre les chutes de pierres. Mécanique de roche. Rock Ing. 2010, 43, 261-274. [Référence croisée]
- 6. Sasiharan, N.; Muhunthan, B.; Blaireau, TC; Shu, S.; Carradine, DM Analyse numérique des performances du treillis métallique et systèmes de protection contre les chutes de pierres à filets câblés. Ing. Géol. 2006, 88, 121-132. [Référence croisée]
- 7. Meng, S.-M.; Shen, W.; Tang, B. Analyse de simulation de la collision entre le conducteur tiré et le filet d'étanchéité dans le construction d'un passage à niveau payant. J. Trois Gorges Univ. (Nat. Sci. Ed.) 2020, 42, 91-95.
- 8. Liu, H.; Meng, H.; Couvercle.; Yao, J.; Liu, C.; Liu, R.; Shen, H. Conception du cadre couvrant utilisé pour le réseau porteur de la ligne de transmission UHV. Dans Actes de la 18e Conférence internationale sur la transmission d'énergie CA et CC (ACDC 2022), virtuelle, 2 et 3 juillet 2022; pages 1446 à 1452.
- 9. Wu, Y.; Soleil, Y.; Zheng, Z.; Sun, X. Ingénierie éolienne et conception structurelle du vent, 1ère éd.; Presse de l'Institut de technologie de Harbin : Harbin, Chine, 2014; p. 22-37.
- 10. Abad, MSA; Shooshtari, A.; Esmaeili, V.; Riabi, AN Analyse non linéaire des structures de câbles sous chargements généraux. Éléments finis Anal. Des. 2013, 73, 11-19. [Référence croisée]
- 11. Vaezzadeh, A.; Dolatshahi, KM Résistance progressive à l'effondrement des structures en treillis de câbles. J.Constr. Acier Rés. 2022, 195, 107347.
- 12. Wu, Y.; Zhang, W.; Meng, X.; Su, Y. Contrôle des vibrations non linéaires des structures de réseaux de câbles avec incertitudes limitées. Acta Mech. 2016. 227. 2985-3000. [Référence croiséel
- 13. Salvatori, L.; Spinelli, P. Effets de la non-linéarité structurelle et de la cohérence du vent le long de la portée sur l'aérodynamique des ponts suspendus : Quelques résultats de simulation numérique. J. Wind Eng. Ind.Aérod. 2006, 94, 415-430. [Référence croisée]
- 14. Escallon, JP; Boetticher, V.; Wendeler, C.; Chatzi, E.; Bartelt, P. Mécanique des grillages à maillons de chaîne avec connexions desserrées. Ing. Structure. 2015, 101, 68-87. [Référence croisée]
- 15. Khalkhaliha, M.; Zarfam, P.; Zarfam, R. Comportement structurel non linéaire et contrôle des vibrations d'un réseau de câbles à double courbure sous les excitations dynamiques. Lat. Suis. J. Structure des solides. 2020, 17, e267. [Référence croisée]
- 16. Lloyd, A.; Barry, P. Performance des filets de sécurité sous une charge d'impact à faible vitesse. Dans Actes de la conférence annuelle 2021 de la Société canadienne de génie civil : CSCE21 Structures Track Volume 2. Notes de cours en génie civil ; Springer : Berlin/Heidelberg, Allemagne, 2022 ; Volume 244, pages 421 à 431.
- 17. Bertolo, P.; Oggeri, C.; Peila, D. Tests à grande échelle de filets drapés pour la protection contre les chutes de pierres. Peut. Géotechnologie. J. 2009, 46, 306-317.
- 18. Escallon, JP; Wendeler, C.; Chatzi, E.; Bartelt, P. Identification des paramètres des composants de la barrière de protection contre les chutes de pierres grâce à une formulation inverse. Ing. Structure. 2014, 77, 1-16. [Référence croisée]
- 19. Wang, Y. Étude d'essai en soufflerie sur la structure du réseau d'étanchéité du projet de transport d'énergie sur un chemin de fer à grande vitesse Doubler. Mémoire de maîtrise, Université de Shantou, Shantou, Chine, 2022.
- 20. Li, C.; Liu, C. Simulation des champs de vitesse du vent en recourant à une méthode de superposition harmonique basée sur la technique d'interpolation.

 J. Vib. Choc 2009, 28, 65-69.
- 21. Holmes, JD; Bekele, S. Chargement dû au vent des structures ; CRC Press : Boca Raton, FL, États-Unis, 2020 ; pp. 154-195.
- 22. Simiu, E.; Yeo, D. Effets du vent sur les structures Conception structurelle moderne pour le vent, 4e éd.; Wiley Blackwell : Hoboken, New Jersey, États-Unis, 2019; p. 17-51.
- 23. Institut chinois de planification et de conception de l'énergie électrique. Spécification technique pour la conception des structures de support en acier des frais généraux Ligne de transmission DL/T 5486-2020 ; China Planning Press : Pékin, Chine, 2020 ; pp. 85-87.
- 24. Conseil chinois de l'électricité. Guide de technologie de construction pour le cordage de tension des lignes aériennes de transmission lors du franchissement de lignes sous tension sans cadre transversal DL/T 5301-2013 ; Maison d'édition China Electric Power : Pékin, Chine, 2014 ; p. 7-18.
- 25. Zhang, G.; Soleil, W.; Wu, Y.; Fu, J.; Yao, Y. Technologie de construction de lignes aériennes de transport d'électricité sur des chemins de fer à grande vitesse. Construction de puissance. 2011, 32, 94-97.
- 26. Otarawanna, S.; Ngiamsoongnirn, K.; Malatip, A.; Eiamaram, P.; Phongthanapanich, S.; Juntasaro, E.; Kowitwarangkul, P.; Intarakumthornchai, T.; Boonmalert, P.; Bhothikhun, C. Une suite logicielle éducative pour un apprentissage complet de l'ingénierie assistée par ordinateur. Calculer. Appl. Ing. Éduc. 2020, 28, 1083-1109. [Référence croisée]
- 27. Yang, Q.; Li, CM Ansys, recherche de forme de structure de câble et simulation de lignes à chaînes suspendues. Inf. Technologie. Civ. Ing. Constr. 2010. 2. 61-65.
- 28. Wojcik-Grzaba, I. Méthode de densité de force étendue pour les filets de câbles sous poids propre. Partie II—Exemples d'application. Cambre. Civ. Ing. 2022, 68, 45-61.
- 29. Qi, X.; Lingfeng, Z.; Jingsu, C.; Yi, Z. Modélisation Ansys et analyse des propriétés dynamiques de la transmission basale compacte et étroite la tour. Ressource en eau. Pouvoir 2011. 29. 167-168. 186.
- 30. Loi ferroviaire de la République populaire de Chine. Bulletin du Comité permanent de l'Assemblée populaire nationale du peuple République de Chine; Maison d'édition des chemins de fer de Chine : Pékin, Chine, 2015 ; p. 14-20.
- 31. Zhang, Z. Processus de construction de couverture à travers des lignes sous tension sans système de couverture à cadre couvrant. Technologie. Vent. 2011, 20. 156-157.
- 32. Tang, J.; Xie, X. Étude sur l'aptitude au service des vibrations d'un pont suspendu pour piétons à grande portée sous des vents latéraux. Université J.Zhejiang. (Ed. anglais) 2021, 55, 1903-1911.

33. Wang, D.; Wang, J.; Xia, Z.; Zhang, X.; Wang, J.; Wang, J. Développement d'un dispositif de masquage d'isolation pour la fixation des fils de phase et traverses en bord de tirant dans un réseau de distribution. Énergie électrique 2023, 44, 29-32.

33 sur 33

34. Nitesh, K.; Shetty, KK; Sheoy, P. Influence des profils de câbles sur les performances du pont à haubans. Int. J.Civ. Ing. Technologie. 2018, 9, 1136-1142.

Avis de non-responsabilité/Note de l'éditeur : Les déclarations, opinions et données contenues dans toutes les publications sont uniquement celles du ou des auteurs et contributeurs individuels et non de MDPI et/ou du ou des éditeurs. MDPI et/ou le(s) éditeur(s) déclinent toute responsabilité pour tout préjudice corporel ou matériel résultant des idées, méthodes, instructions ou produits mentionnés dans le contenu.